



Curs intensiu de diabetes per residents

Futur immediat en el camp de la diabetes

Nous tractaments

Manel PuigDomingo

Servei d'Endocrinologia
Hospital Clínic

Barcelona

Tratamiento fisiopatológico de la DM2

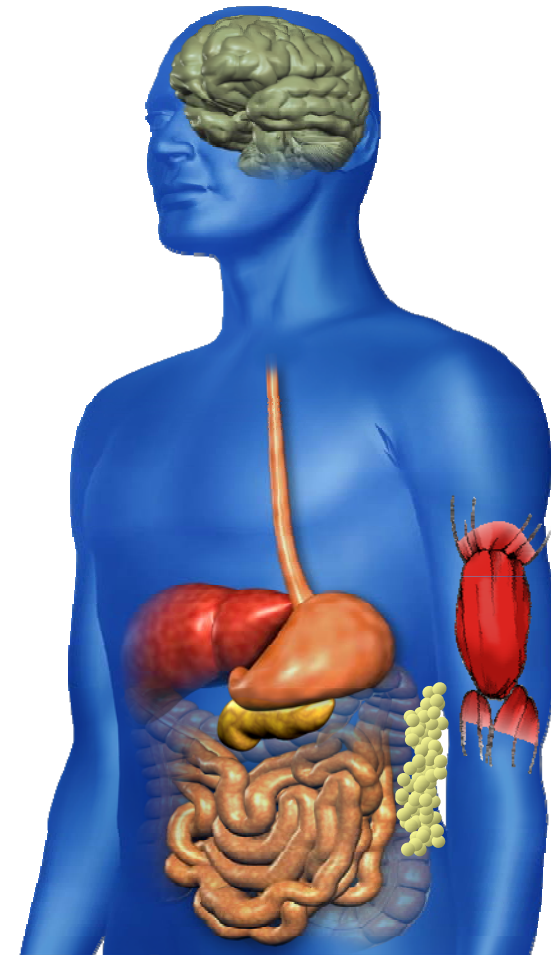
- Actuar sobre la secreción de insulina secretagogos: sulfonilureas y meglitinidas

- Mejorar la respuesta a la insulina endógena:

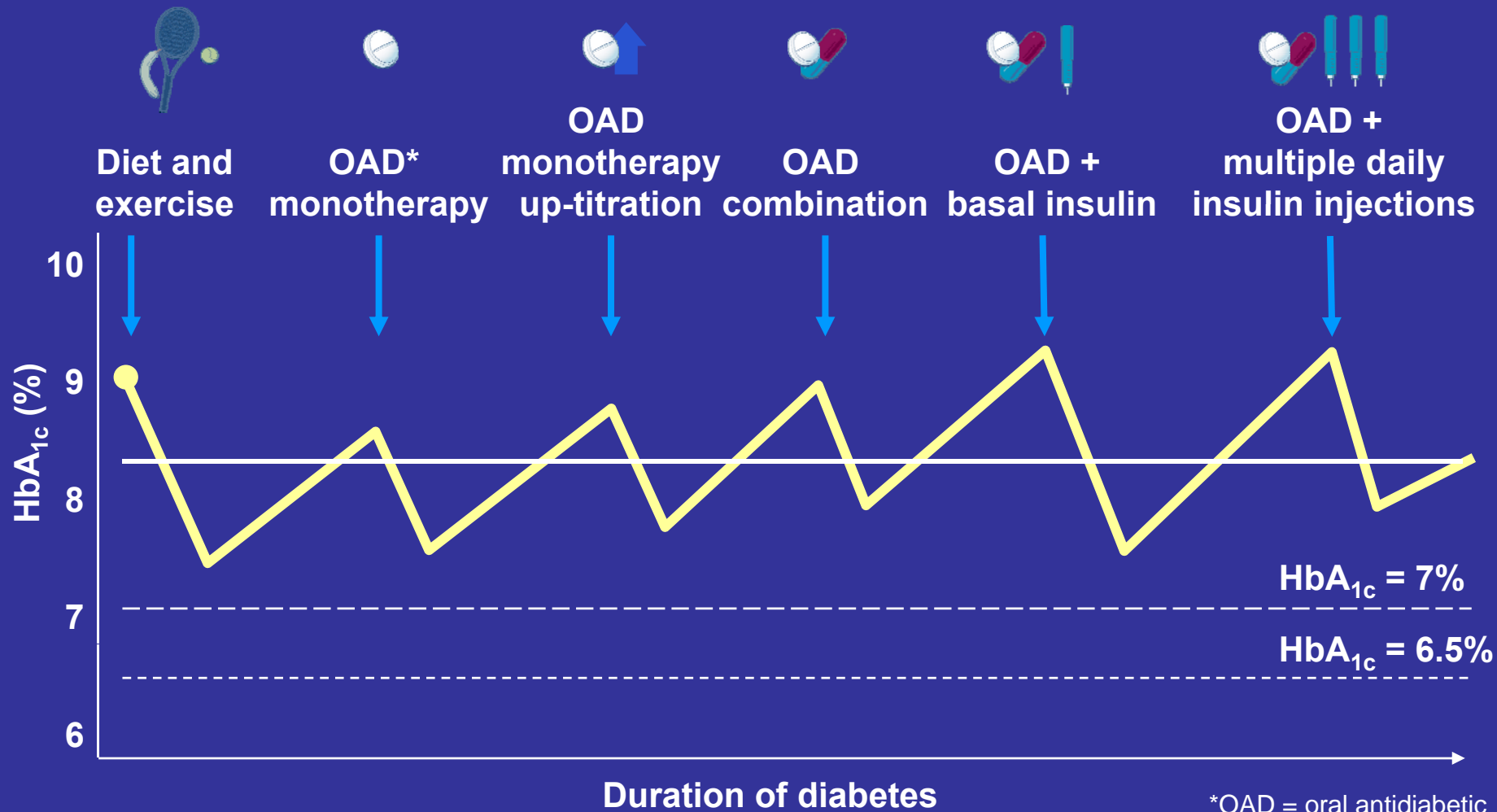
- Inhibir la producción hepática de glucosa: Biguanidas
- Mejorar la resistencia a la insulina: Biguanidas y TZD

- Enlentecer la absorción de carbohidratos: inhibidores de la α -Glucosidasa

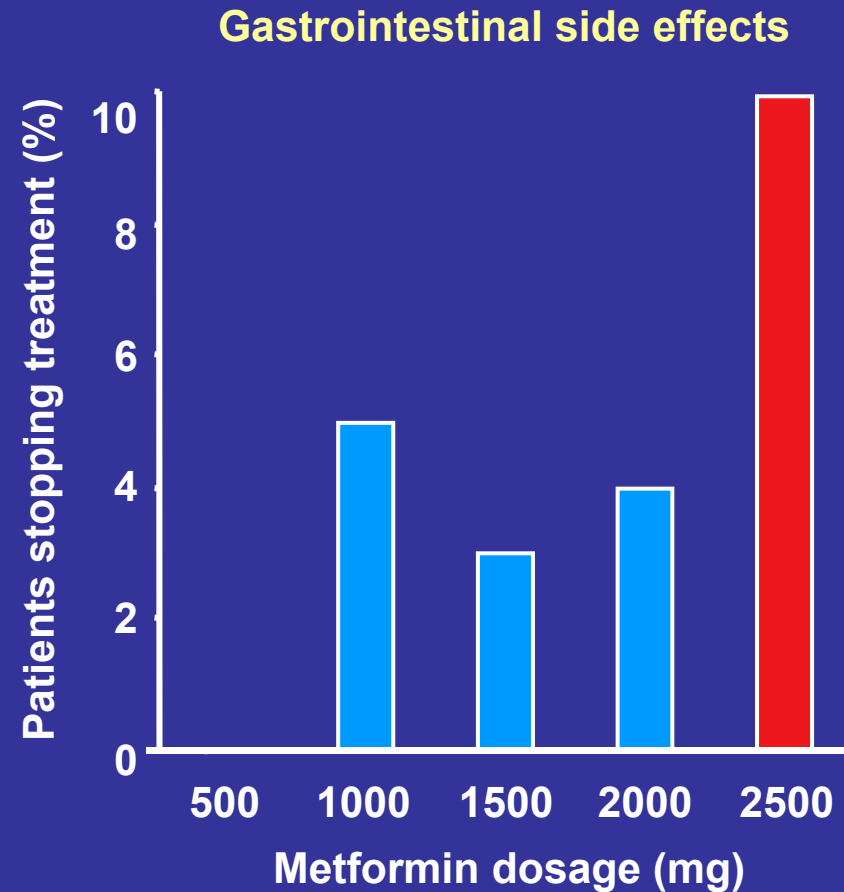
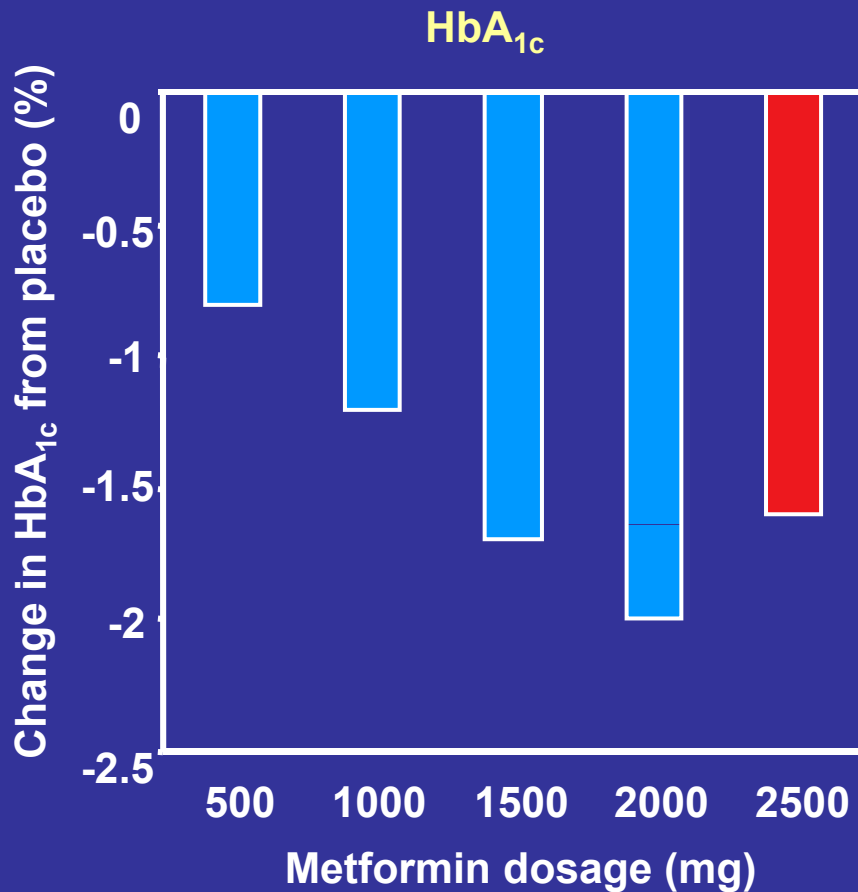
- Tratamiento sustitutivo con insulina



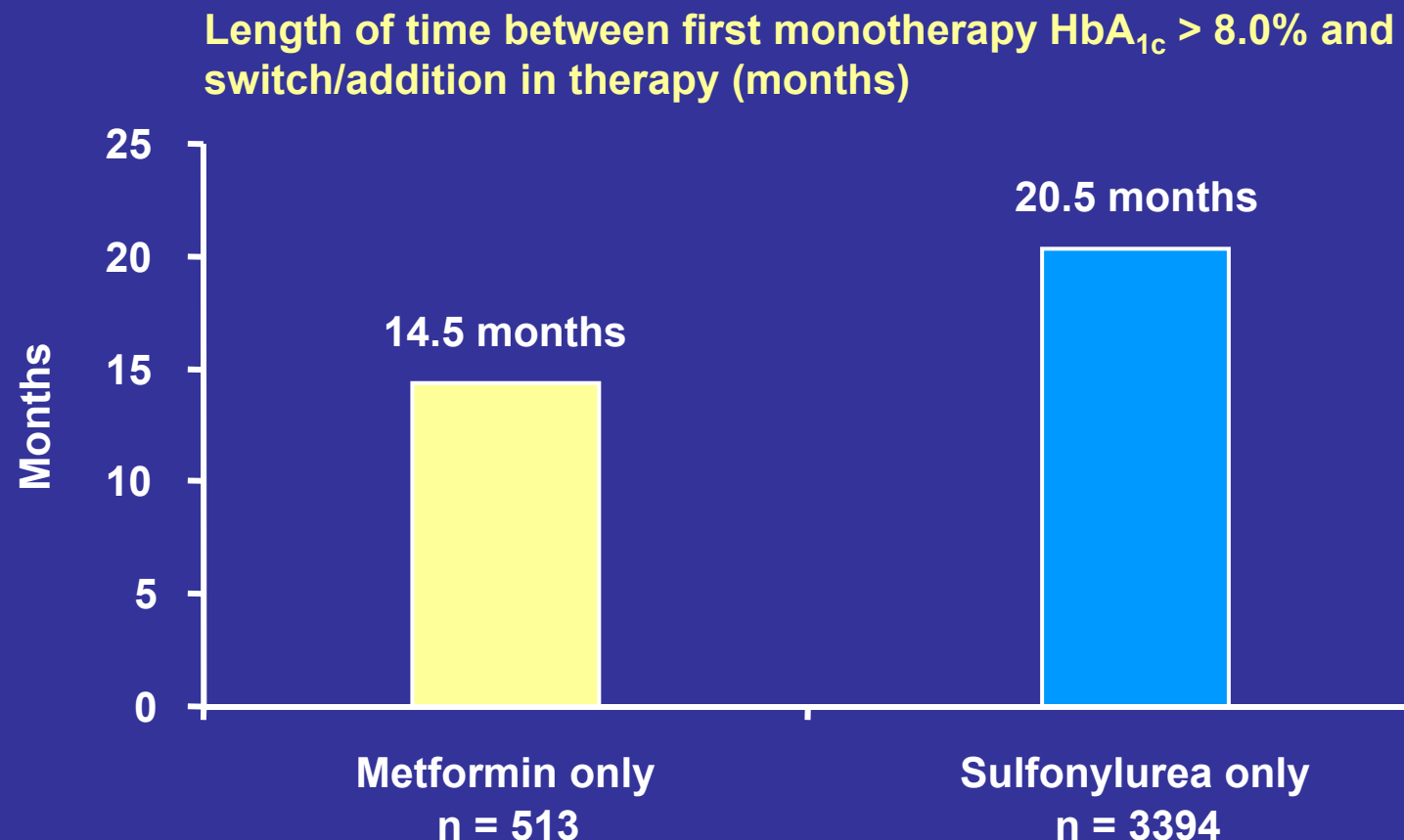
Conservative management of glycemia: consequences of traditional stepwise approach



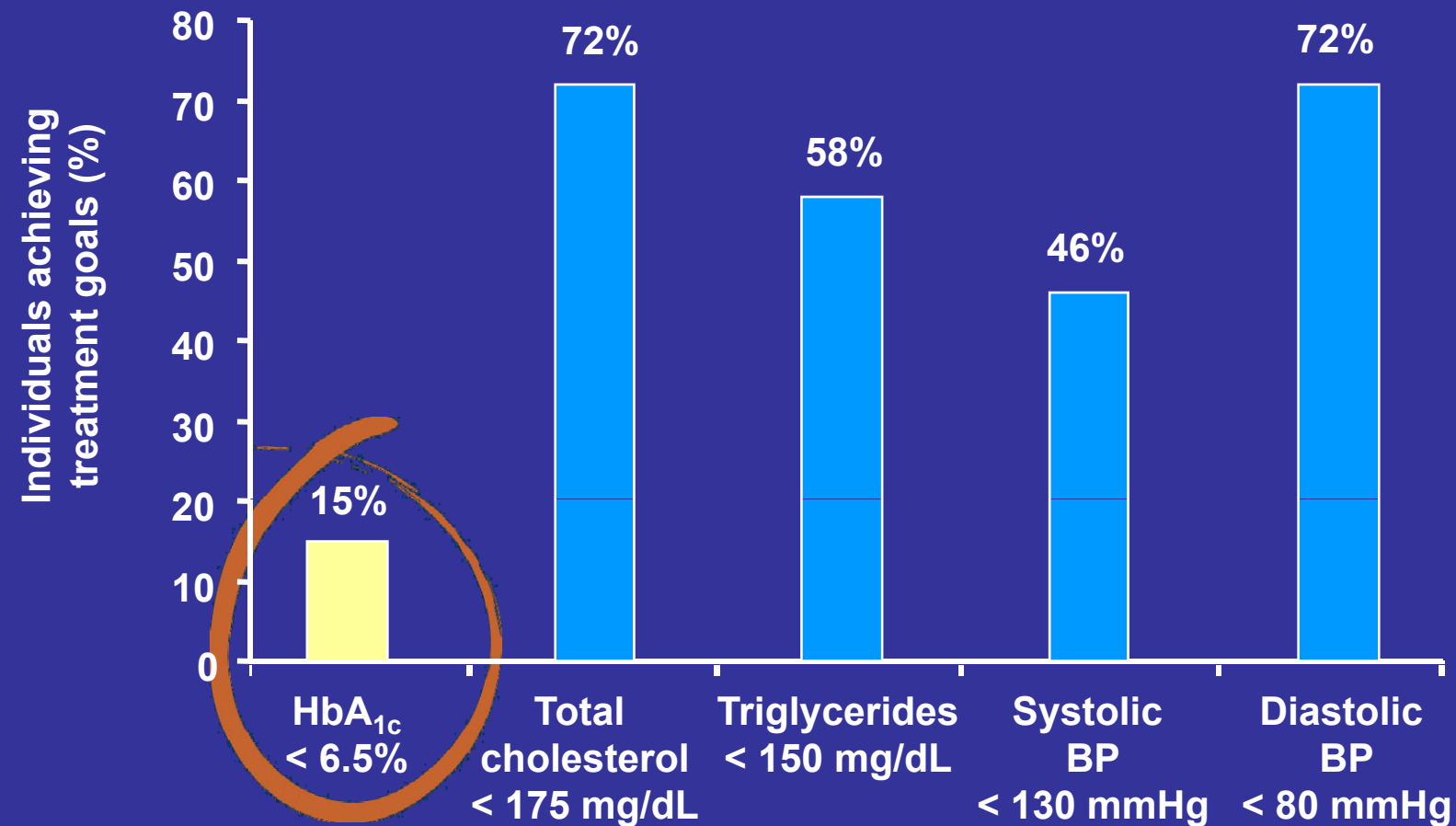
Up-titrating monotherapy to the maximum recommended dose may not provide benefit



Delays often occur between stepping up from monotherapy to combination therapy



Fewer individuals achieve goals for HbA_{1c} versus lipids and blood pressure



Gaede P, et al. N Engl J Med 2003; 348:383–393.

Treatment of T2DM in the USA: NHANES 1988-2002

Average A1C

1995

7.8

2002

7.7

Percentage of patients with A1c < 8.0%

Control

58%

42%

No control

Control

63%

37%

No control

Percentage of patients with A1c < 7.0%

Control

41%

59%

No control

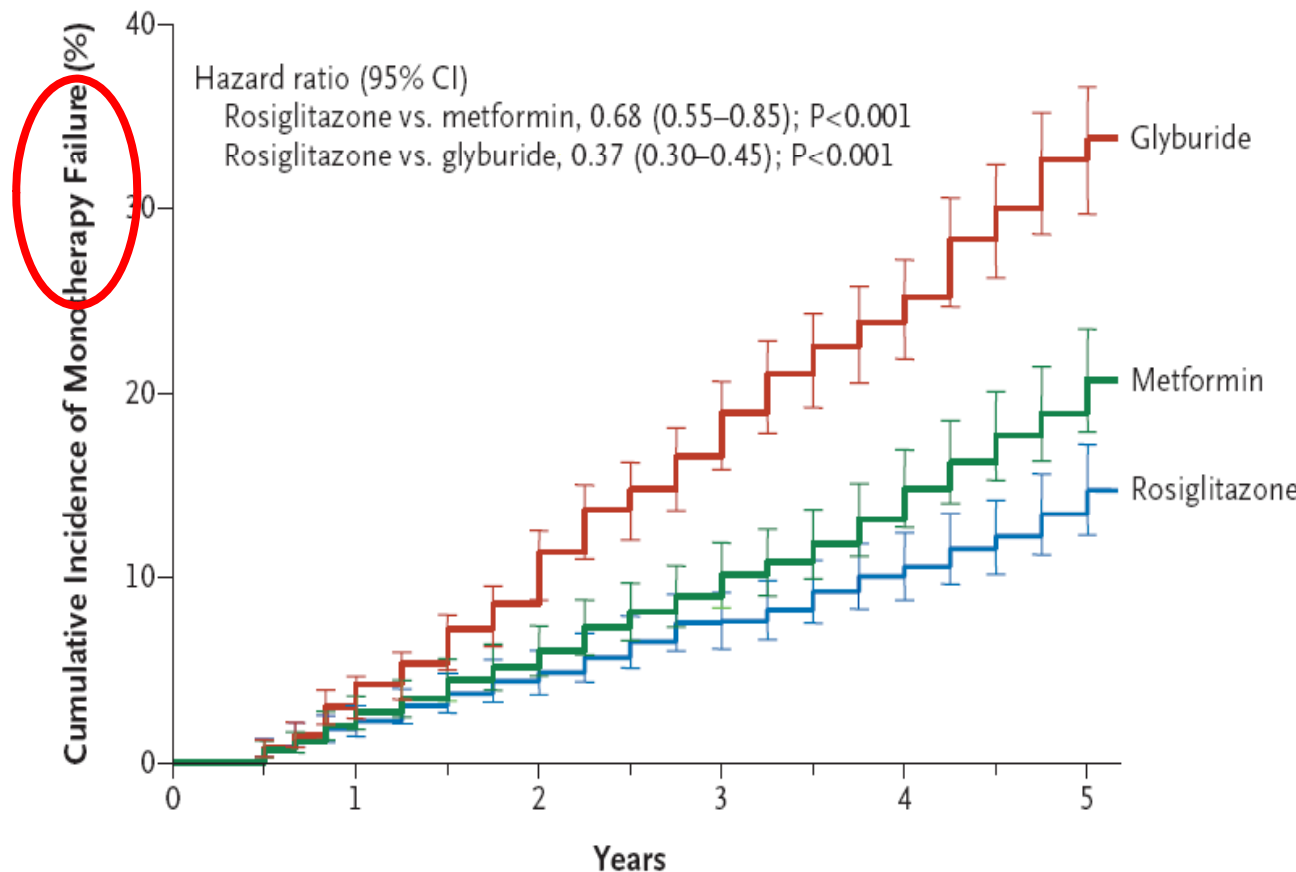
Control

42%

58%

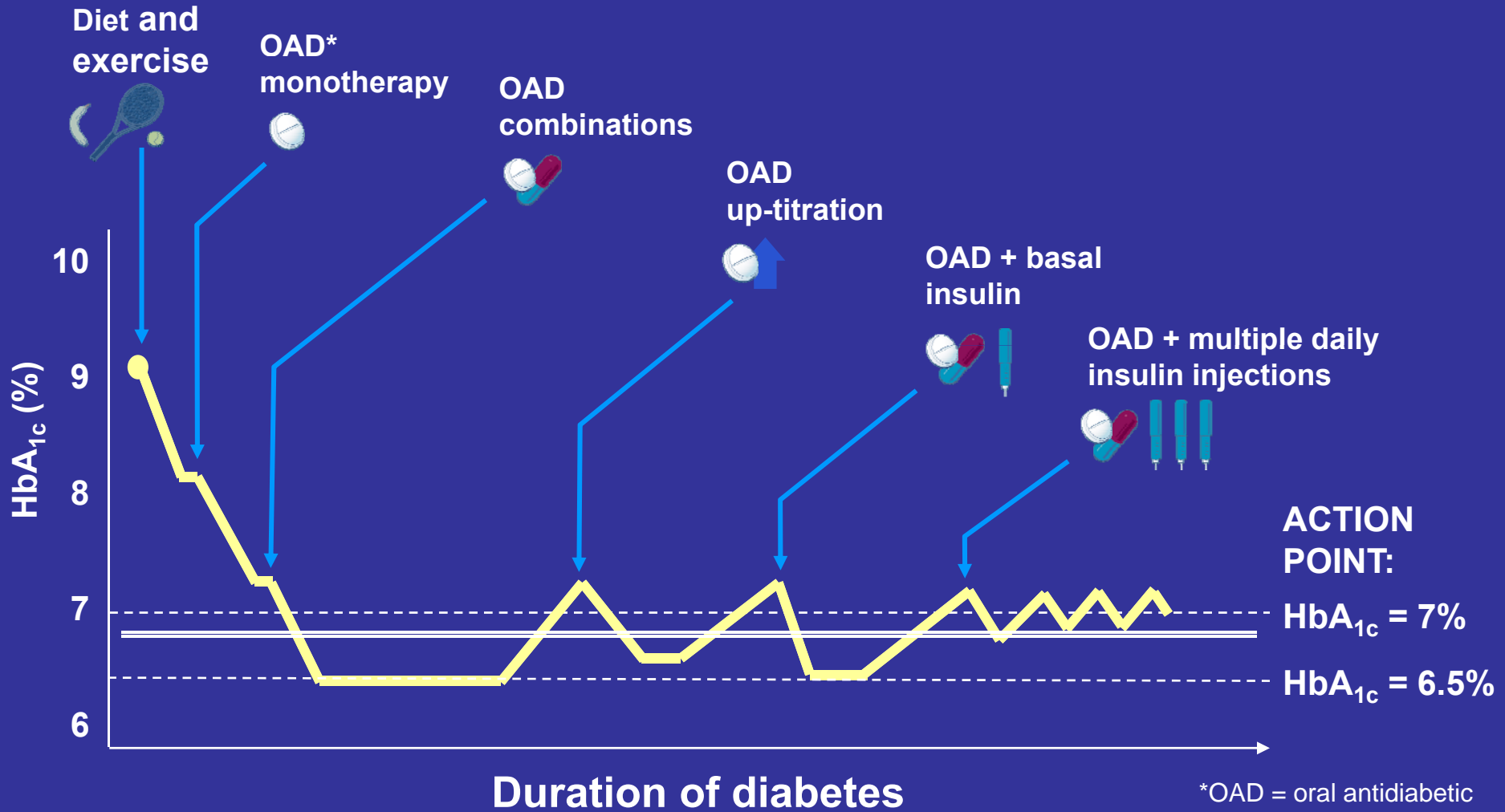
No control

Treatment failure is a universal phenomenon in T2 DM

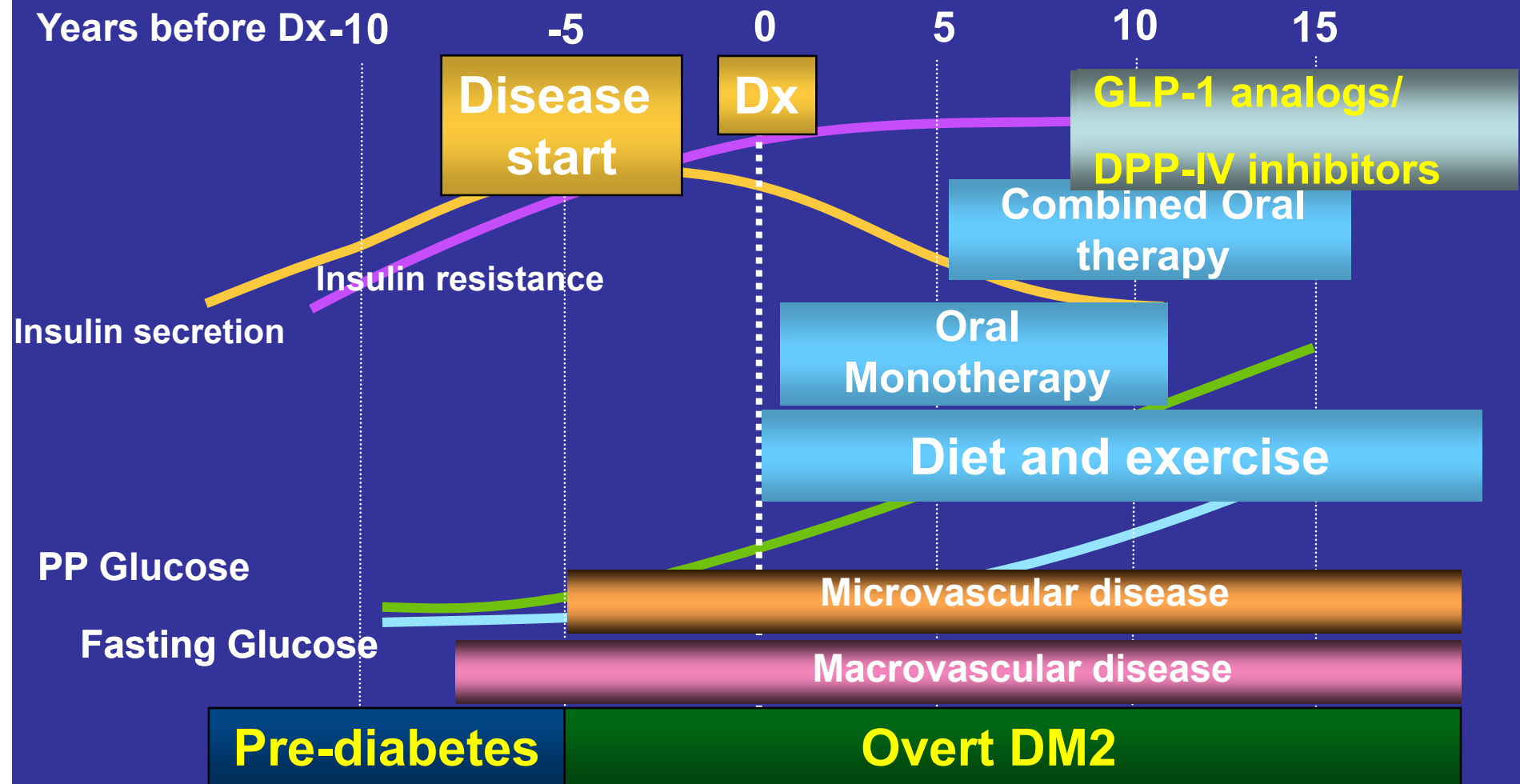


The ADOPT study, NEJM 2007

Proactive management of glycemia: early combination approach

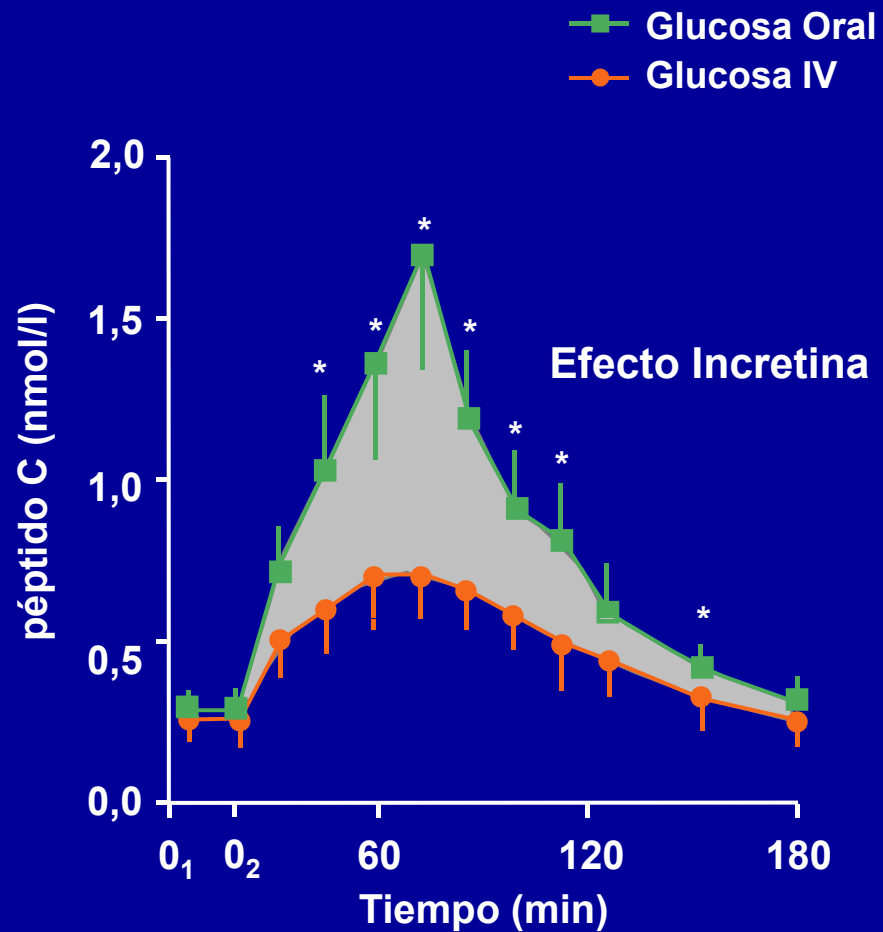
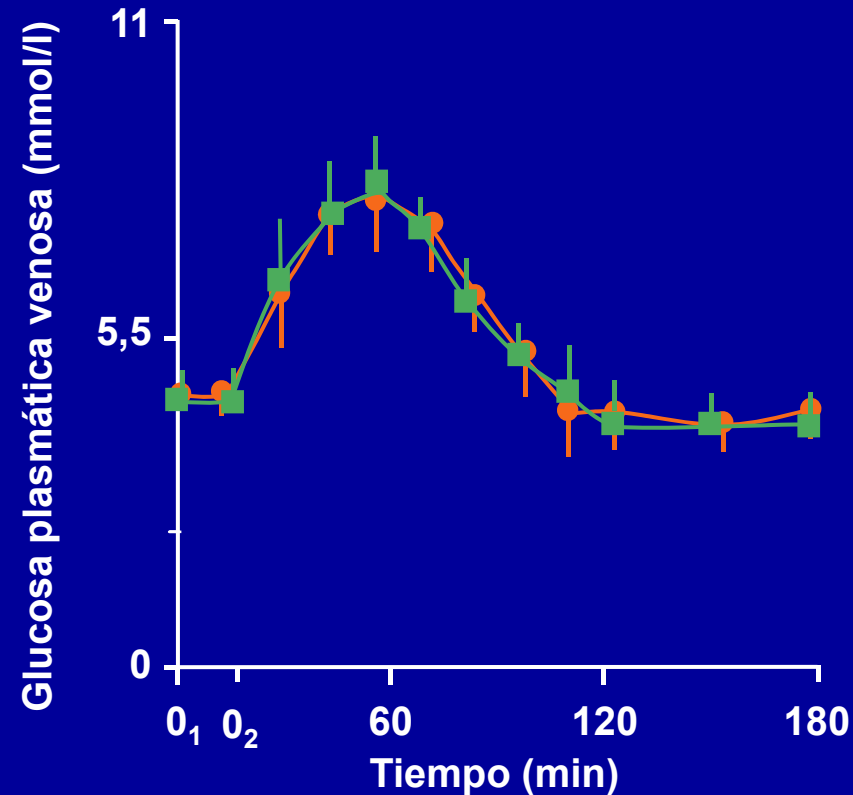


Natural History (*current practice*) of DM 2 treatment



Ramlo-Halsted BA, Edelman SV. *Prim Care*. 1999;26:771-789
Nathan DM. *N Engl J Med*. 2002;347:1342-1349

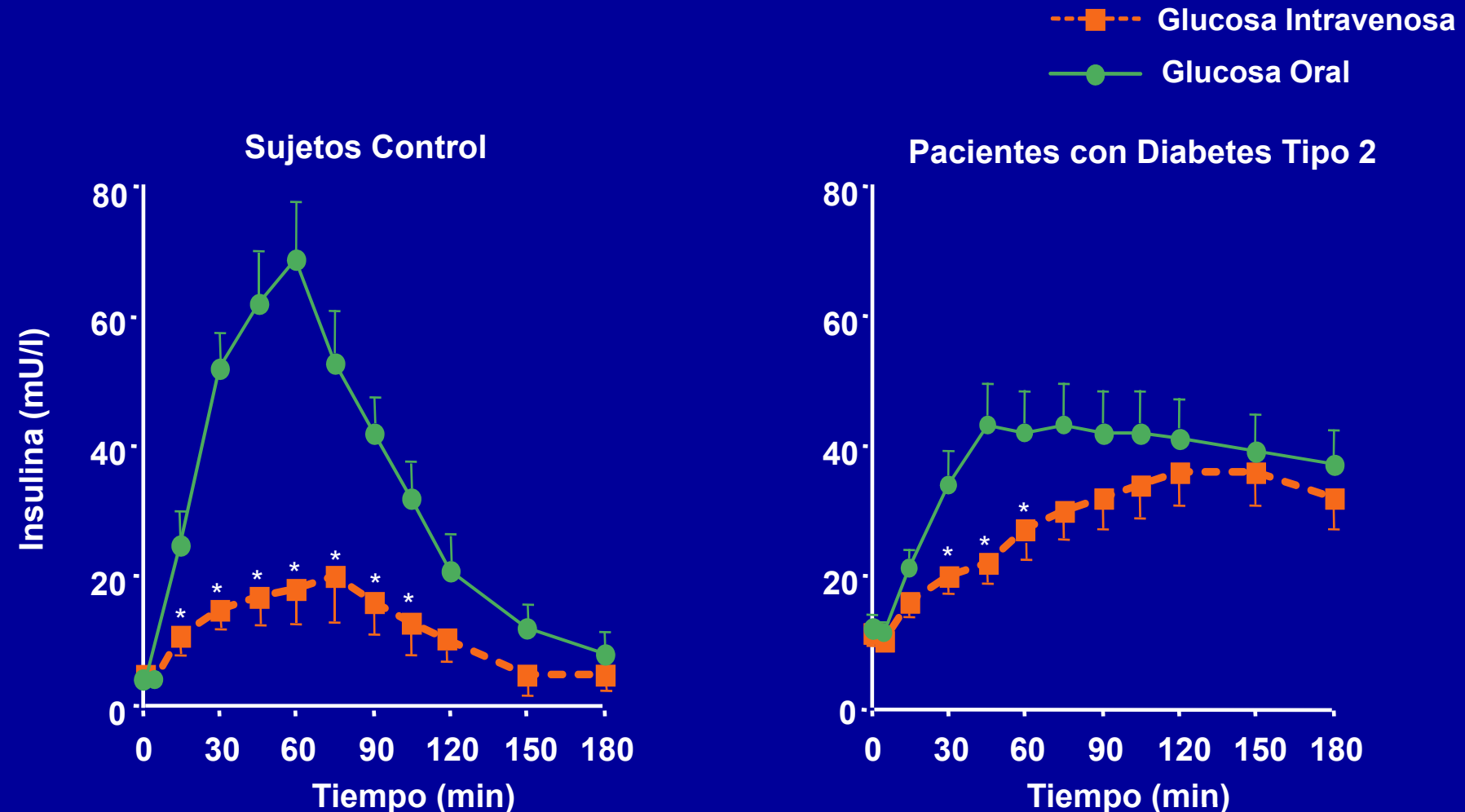
El Efecto Incretina



Media ± EE; N = 6; * $p \leq 0,05$; 0₁-0₂ = tiempo de infusión de la glucosa.

Nauck MA, et al. *J Clin Endocrinol Metab*. 1986;63:492-498. Copyright 1986, The Endocrine Society.

El Efecto Incretina está reducido en pacientes con Diabetes Tipo 2



*p ≤ 0,05 comparado con el valor respectivo después de una carga oral.
Nauck MA, et al. *Diabetologia*. 1986;29:46-52. Reimpresa con permiso de Springer-Verlag © 1986.

Las Incretinas

GLP-1: Glucagon-like Peptide-1



GIP: Glucose-Dependent Insulinotropic Peptide



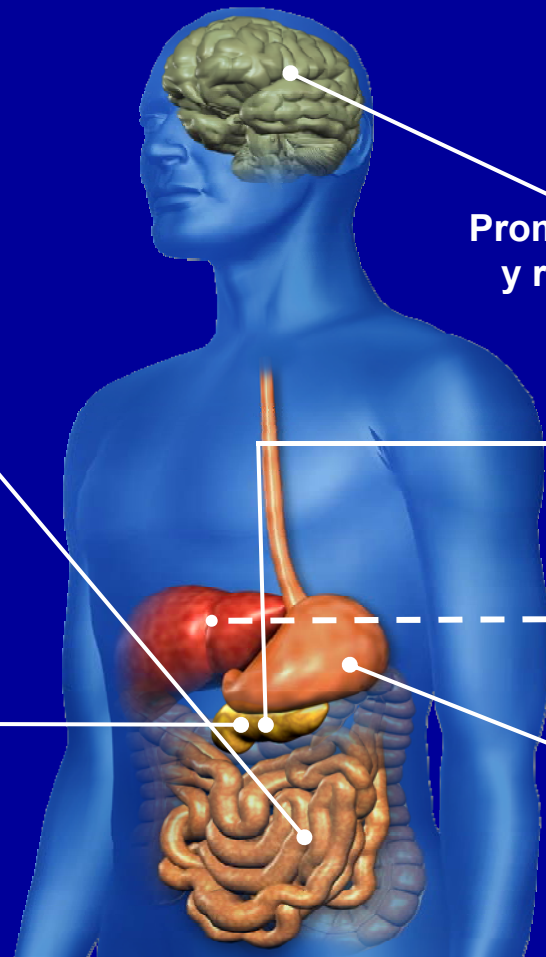
Amino acids shown in blue are homologous with the structure of glucagon.

Efectos del GLP-1 en Humanos: papel glucorregulatorio de las Incretinas

GLP-1 segregado tras
la ingesta de alimentos

↑ Respuesta
célula Beta

Células beta:
Mejora la secreción de
insulina dependiente de
glucosa



Promueve la saciedad
y reduce el apetito

↓ Respuesta
célula Beta

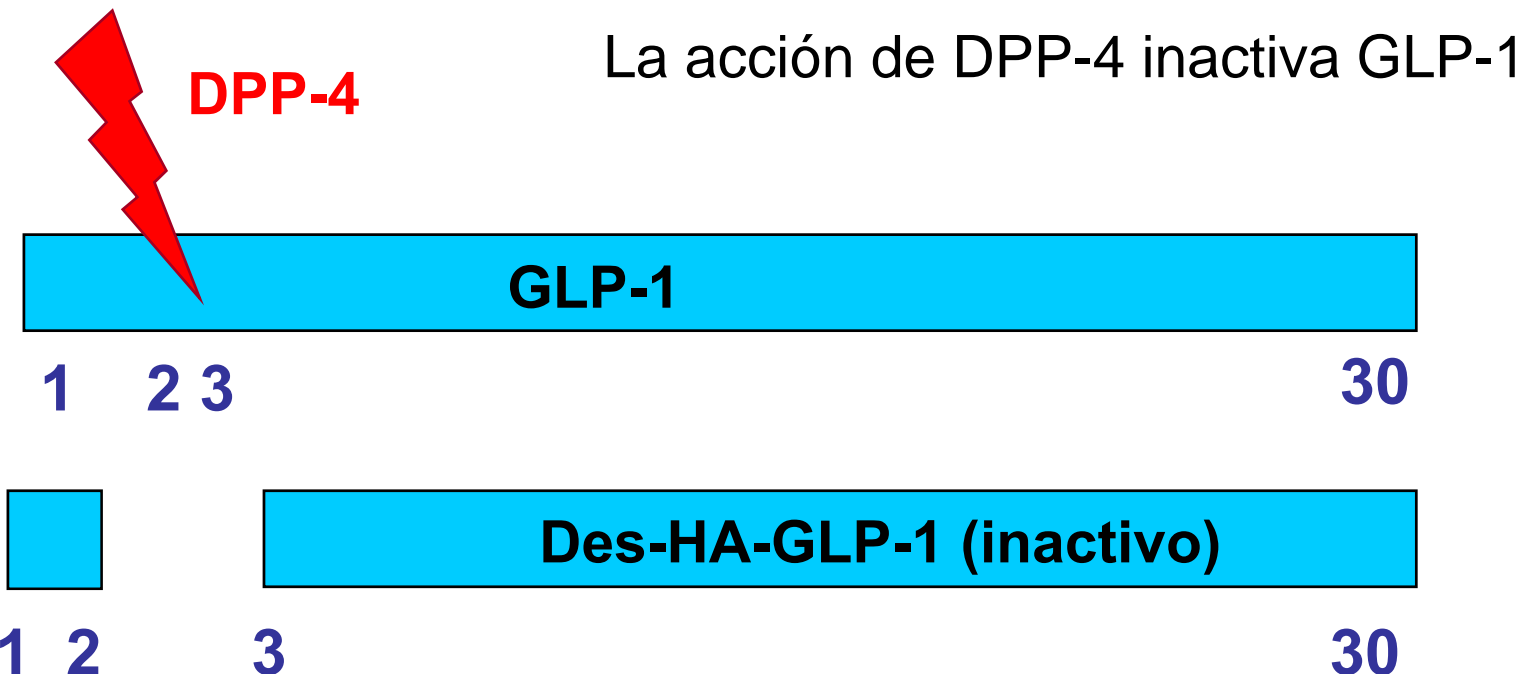
Células alfa:
↓ Secreción
postprandial de
glucagón

Hígado:
↓ glucagón,
reducción de la
producción hepática de
glucosa

Estómago:
Ayuda a regular el
vaciamiento gástrico

Adaptado de Flint A, et al. *J Clin Invest.* 1998;101:515-520.; Larsson H, et al. *Acta Physiol Scand.* 1997;160:413-422.; Nauck MA, et al. *Diabetologia.* 1996;39:1546-1553.; Drucker DJ. *Diabetes.* 1998;47:159-169.

Degradación de GLP-1



2 posibles soluciones para la utilización terapéutica de GLP-1:

1. Análogos LAR de GLP-1 resistentes a DPP-4: **incretín-miméticos**
2. Inhibidores de DPP-4: **incretín-potenciadores**

Mentlein R, et al. *Eur J Biochem*. 1993;214(3):829-835.

Gallwitz B, et al. *Eur J Biochem*. 1994;225(3):1151-1156.

Incretín-miméticos

His Ala Glu Gly Thr Phe Thr Ser Asp Val Ser Ser Tyr Leu Glu Gly Gln Ala Ala Lys Glu Phe Ile Ala Trp Leu Val Lys Gly Arg amide

GLP-1

Lugar de acción de
DPP-4

Liraglutida

His Ala Glu Gly Thr Phe Thr Ser Asp Val Ser Ser Tyr Leu Glu Gly Gln Ala Ala Lys Glu Phe Ile Ala Trp Leu Val Arg Gly Arg Gly



Ácido graso C-16 (unión no covalente a albúmina)



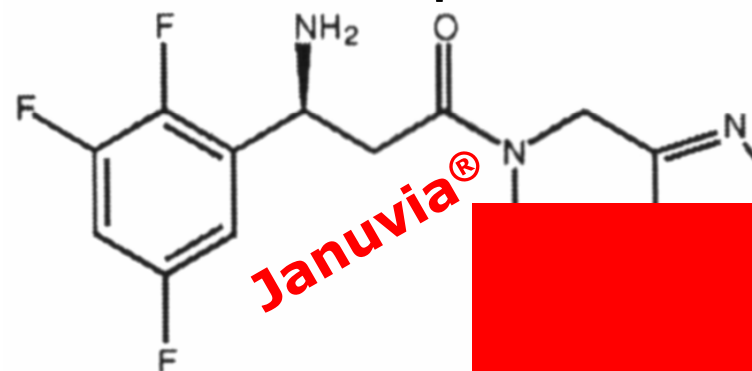
Exendina-4, Exenatida

His Gly Glu Gly Thr Phe Thr Ser Asp Leu Ser Lys Gln Me Glu Glu Glu Ala Val Arg Leu Phe Ile Glu Trp Leu Lys Asn Gly Gly Pro Ser Ser Gly Ala Pro Pro Pro Ser amide



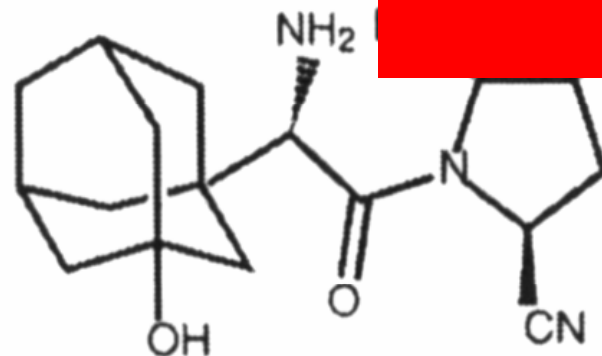
Inhibidores de DPP-4

A. MK-0431 (Sitagliptin),
Merck, Sharp & Dohme

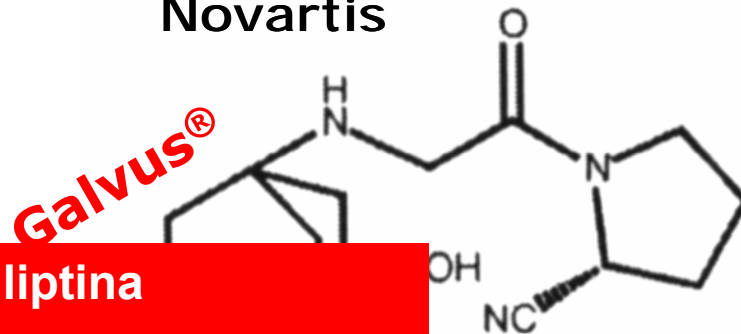


C. BMS-47718 (S)

Bristol-Myers



B. NVP-LAF 237 (Vildagliptin),
Novartis



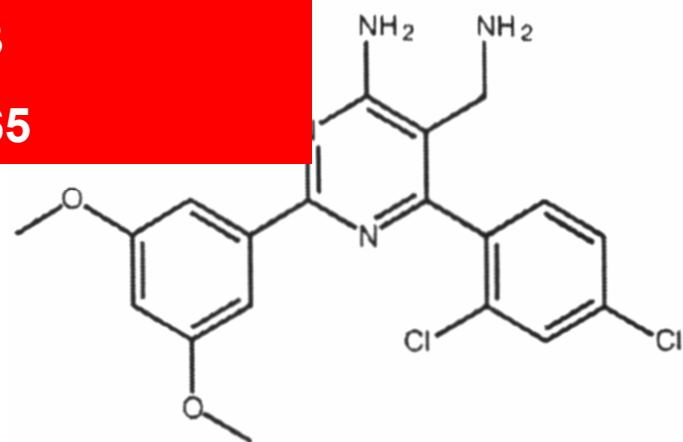
Alogliptina

ABT-279

BI 1356

ARI 2243

LY 2463665

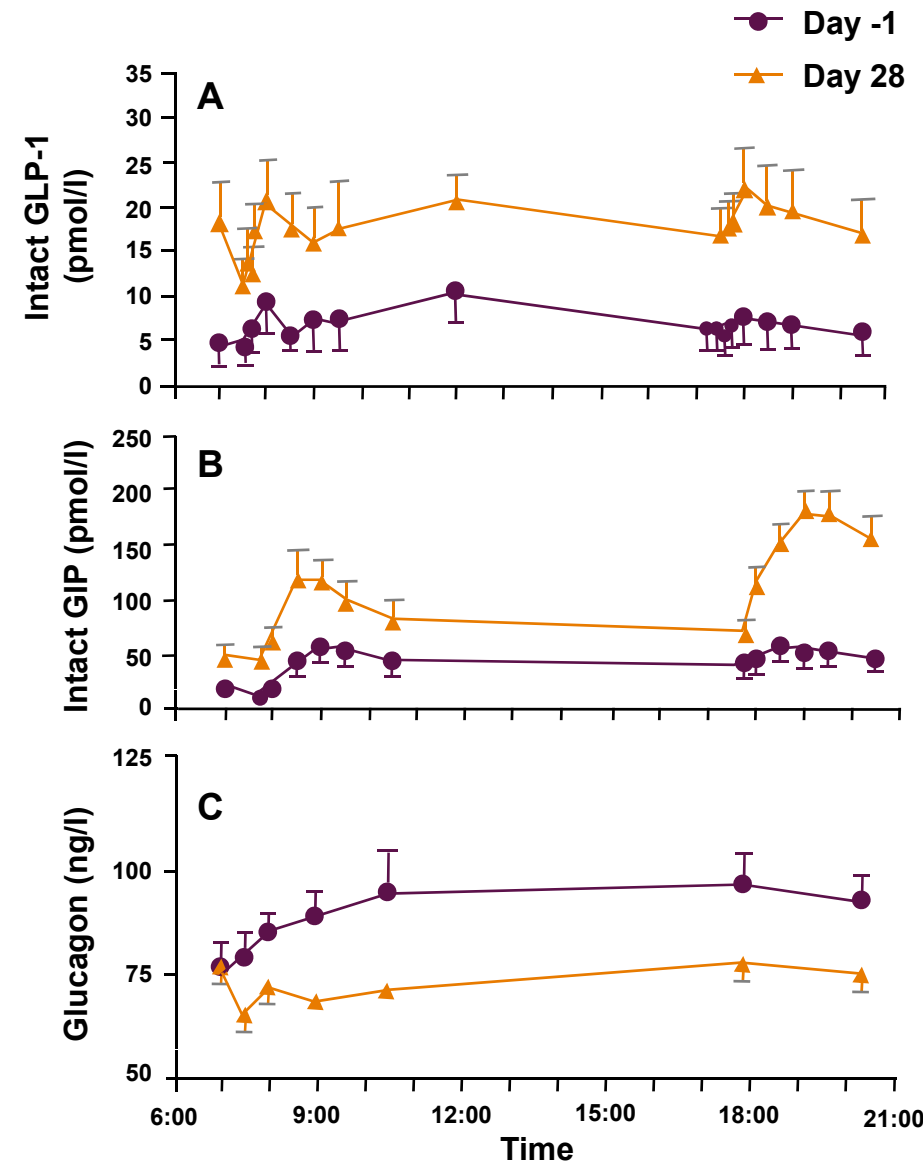


Efecto de iDPP-4 en los niveles de incretinas circulantes

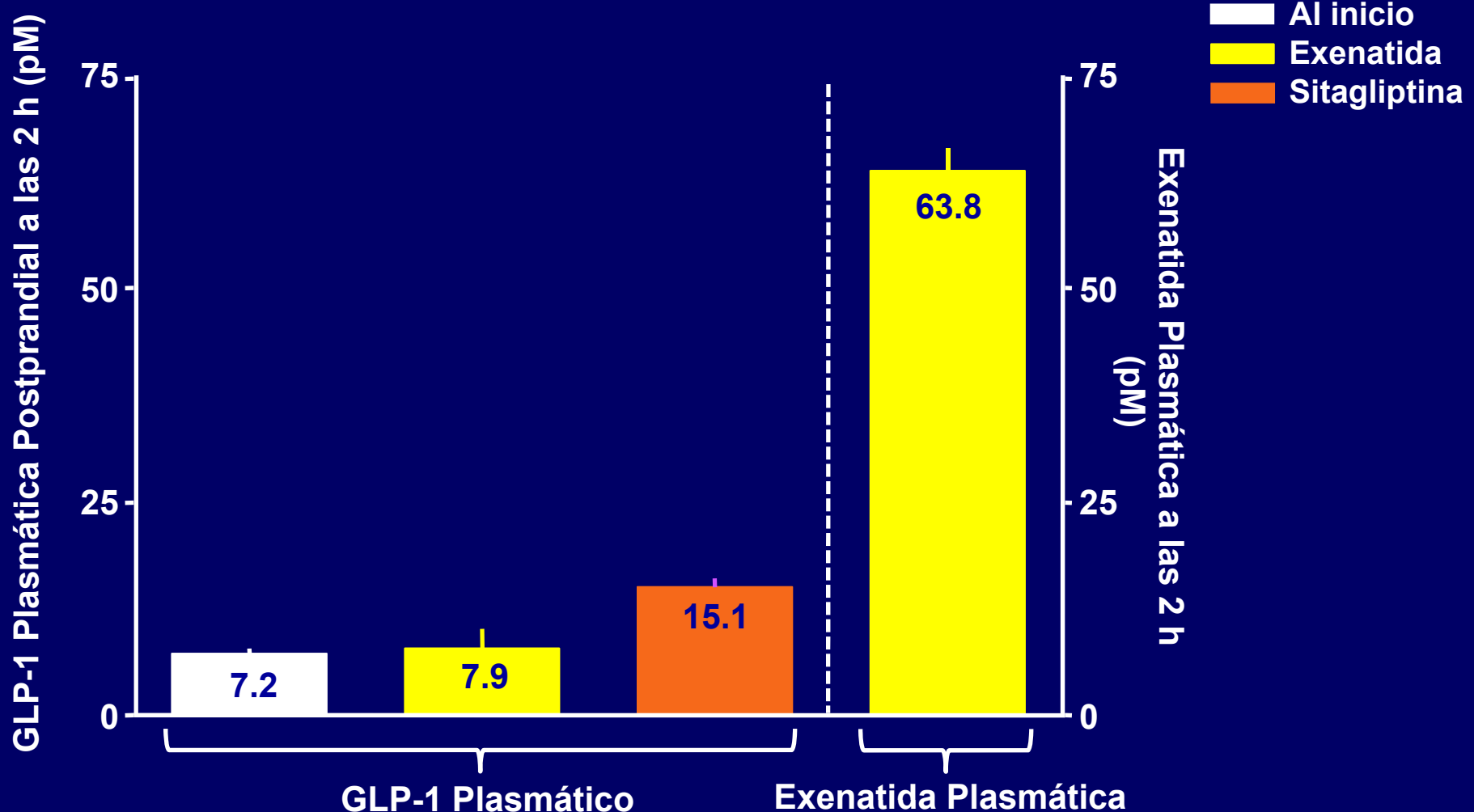
GLP-1

GIP

Glucagon



Los Niveles Plasmáticos Postprandiales de Exenatida Exceden los Niveles Fisiológicos de GLP-1

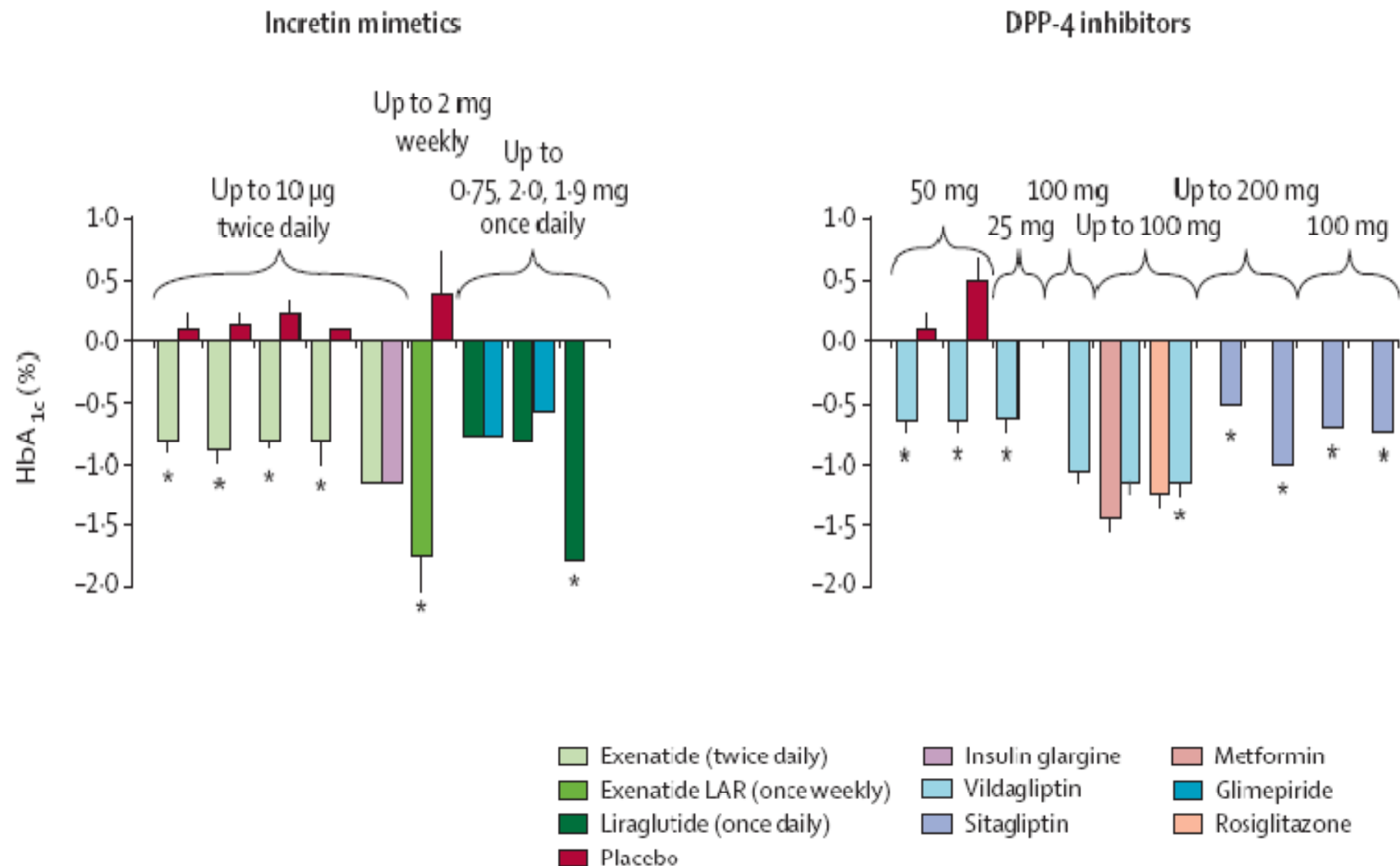


Pacientes con DT2; Población evaluable, n = 61 para todos los grupos de tratamiento; Media ± EE;
datos de concentraciones posttratamiento a las 2 semanas
DeFronzo RA, et al. *Curr Med Res Opin.* 2008;24(10):2943-2952.

Incretín Miméticos vs iDPP-4: Diferencias

Propiedades/Efectos	Incretín Miméticos	iDPP-4
Estimulación de la secreción de insulina exclusivamente vía GLP-1	Sí	Probablemente no exclusivamente vía GLP-1(PACAP? GIP? otras?)
Restitución de secreción fisiológica de insulina (2 fases)	Sí	No probado
Mantenimiento de contrarregulación por glucagón en situación de hipoglicemia	Sí	No probado
Inhibición de la motilidad digestiva	Sí	No
Efecto en el peso corporal	Disminución	No disminución
Efectos adversos	Nausea	No
Formación de anticuerpos	Sí	No
Administración	Inyección Subcutánea	Oral

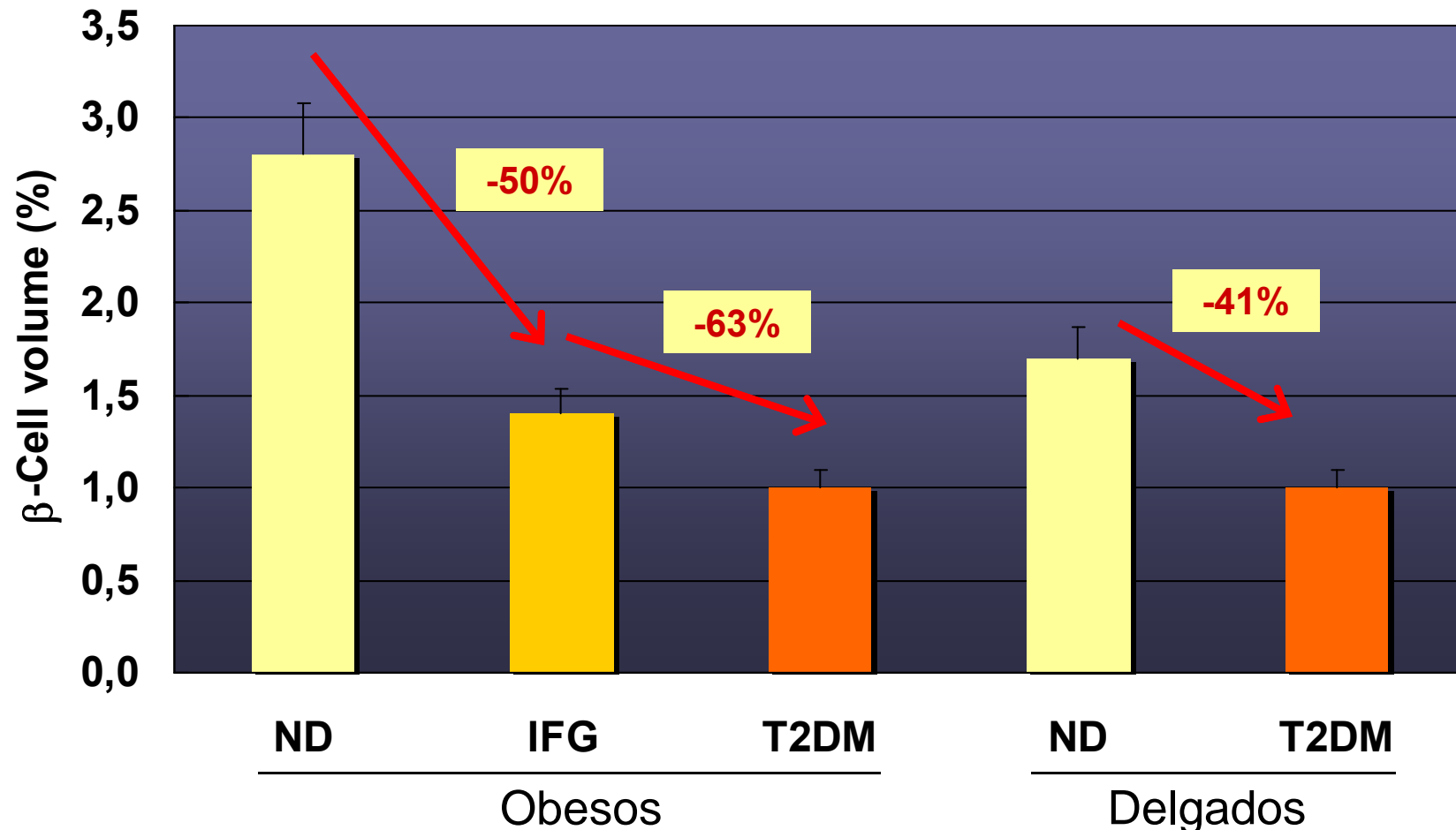
Resultados de estudios clínicos con incretinas en DM2: control glicémico



Drucker & Nauck. Lancet 2007

Nos ofrecen algo más la terapia
basada en incretinas ?

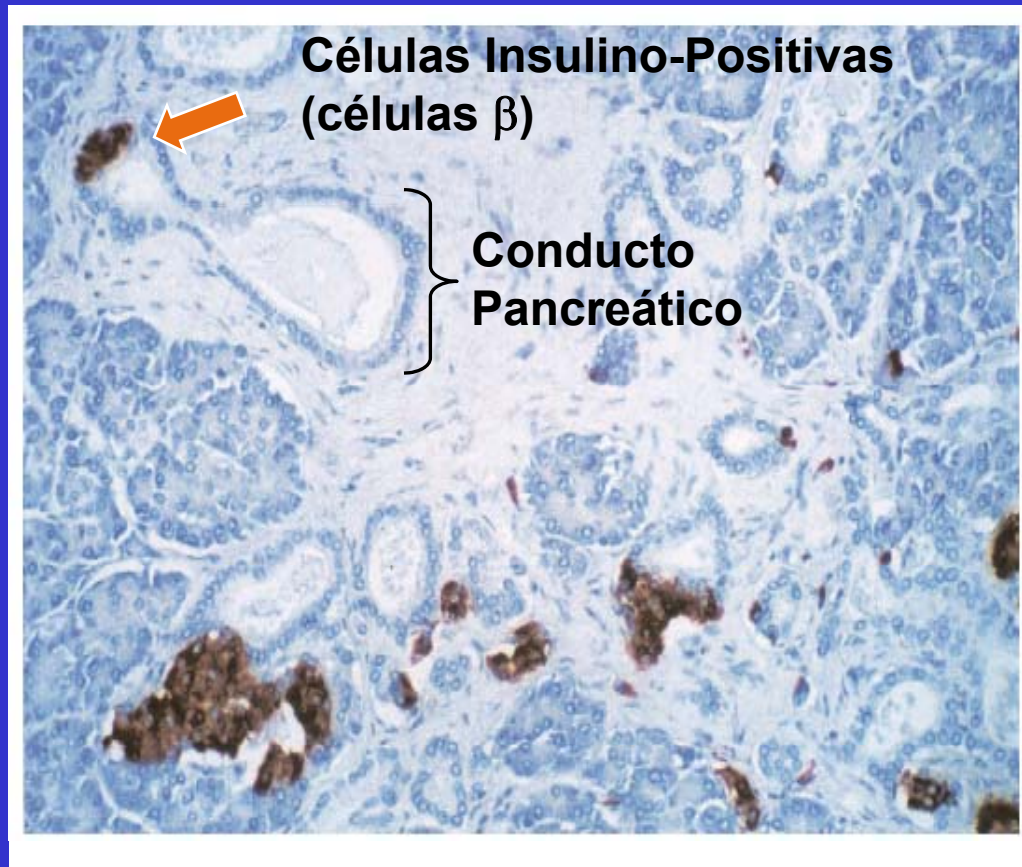
Masa de células β en pacientes con Diabetes tipo 2



ND=non-diabetic; IFG=impaired fasting glucose; T2DM=Type 2 diabetes mellitus

Butler AE et al. *Diabetes*. 2003;52:102-110.

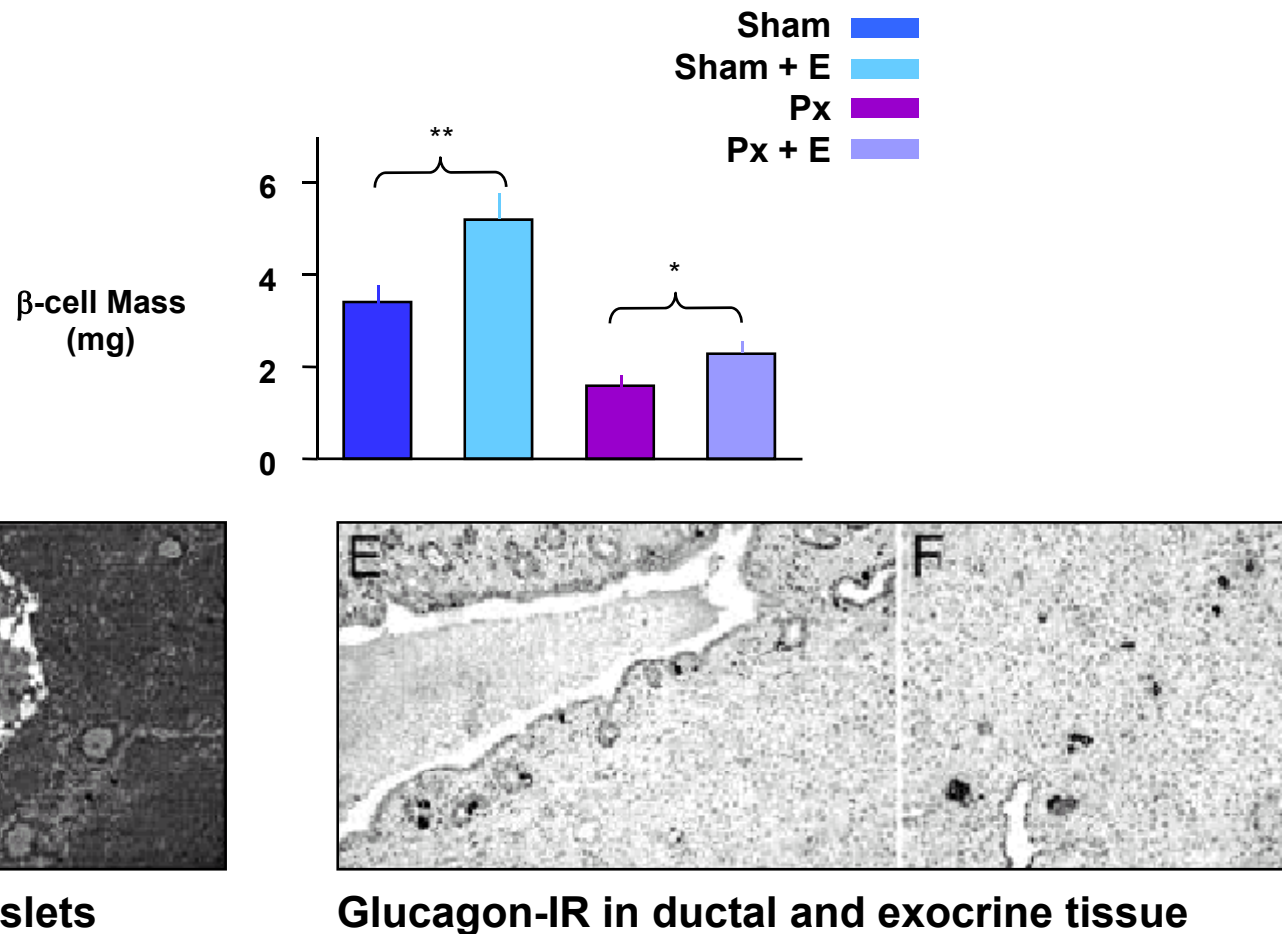
El mantenimiento de la masa de células β es un proceso dinámico



- Equilibrio dinámico de pérdida de células β vs. neogénesis
- Los islotes se reabastecen de nuevas células β
- Replicación:
 - Células epiteliales ductales
- Proliferación:
 - Células madre y precursoras

Butler AE et al. *Diabetes*. 2003;52:102-110.;
Bonner-Weir S. *J Mol Endocrinol*. 2000;24:297-302.;
Finegood DT, et al. *Diabetes*. 1995;44:249-256.

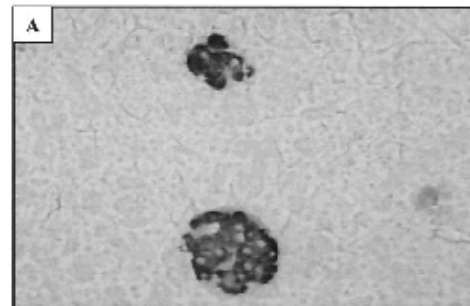
Neogenesis y replicación Beta-celular incrementadas tras tratamiento con exenatida en ratas parcialmente pancreatectomizadas



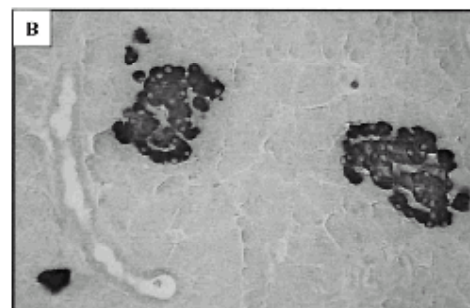
Xu et al, *Diabetes* 1999

Incremento de la masa Beta en ratas tratadas con estreptozotozina +incretinas

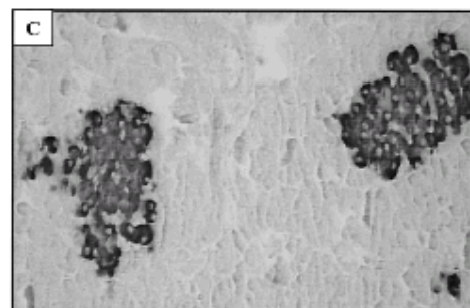
Control – STZ
 $(\beta$ cell mass = 2.2mg/pancreas)



GLP-1 – STZ
 $(\beta$ cell mass = 3.1mg/pancreas)



Exendin-4 – STZ
 $(\beta$ cell mass = 3.6mg/pancreas)

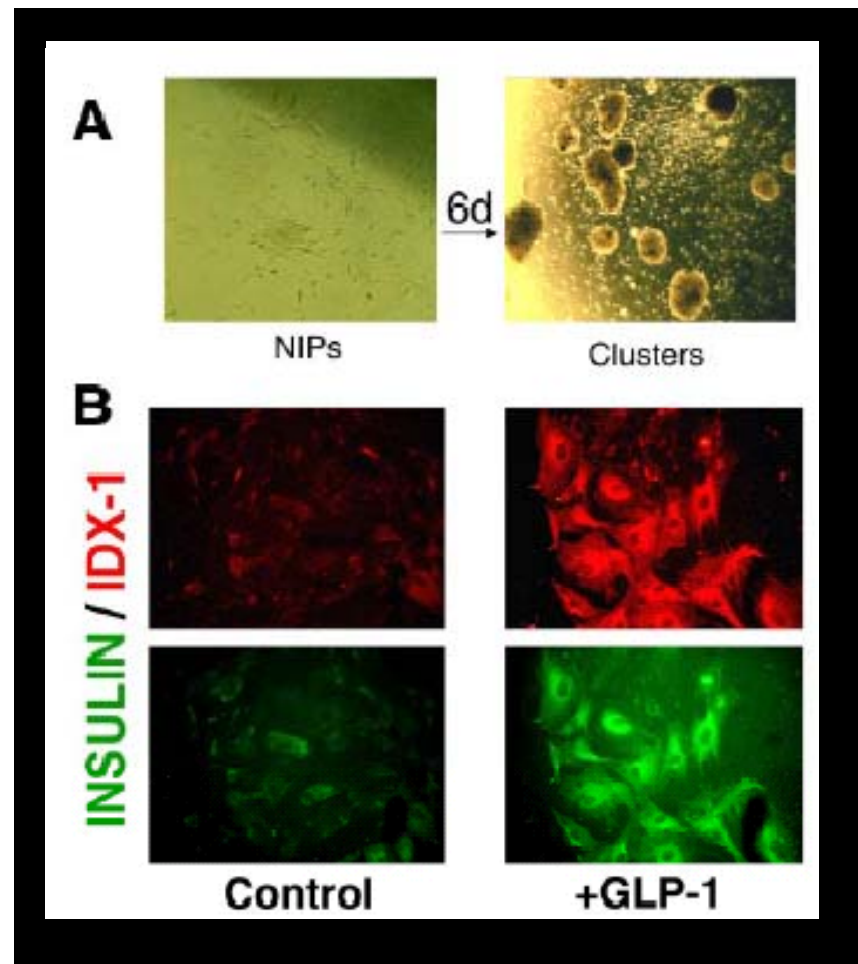


Tourrel C. et al, *Diabetes* 2001

GLP-1 induce diferenciación de células madre pancreáticas

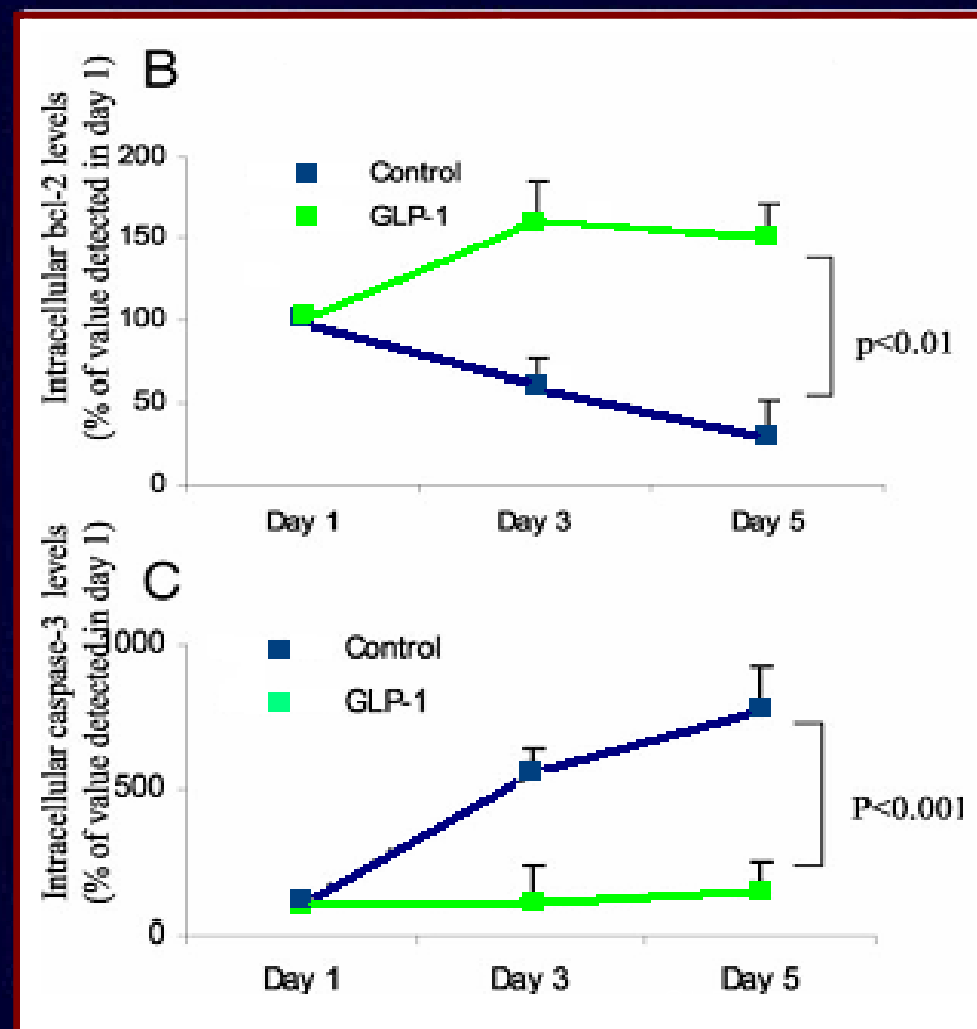
NIP:

Nestin-positive
islet progenitor
cells



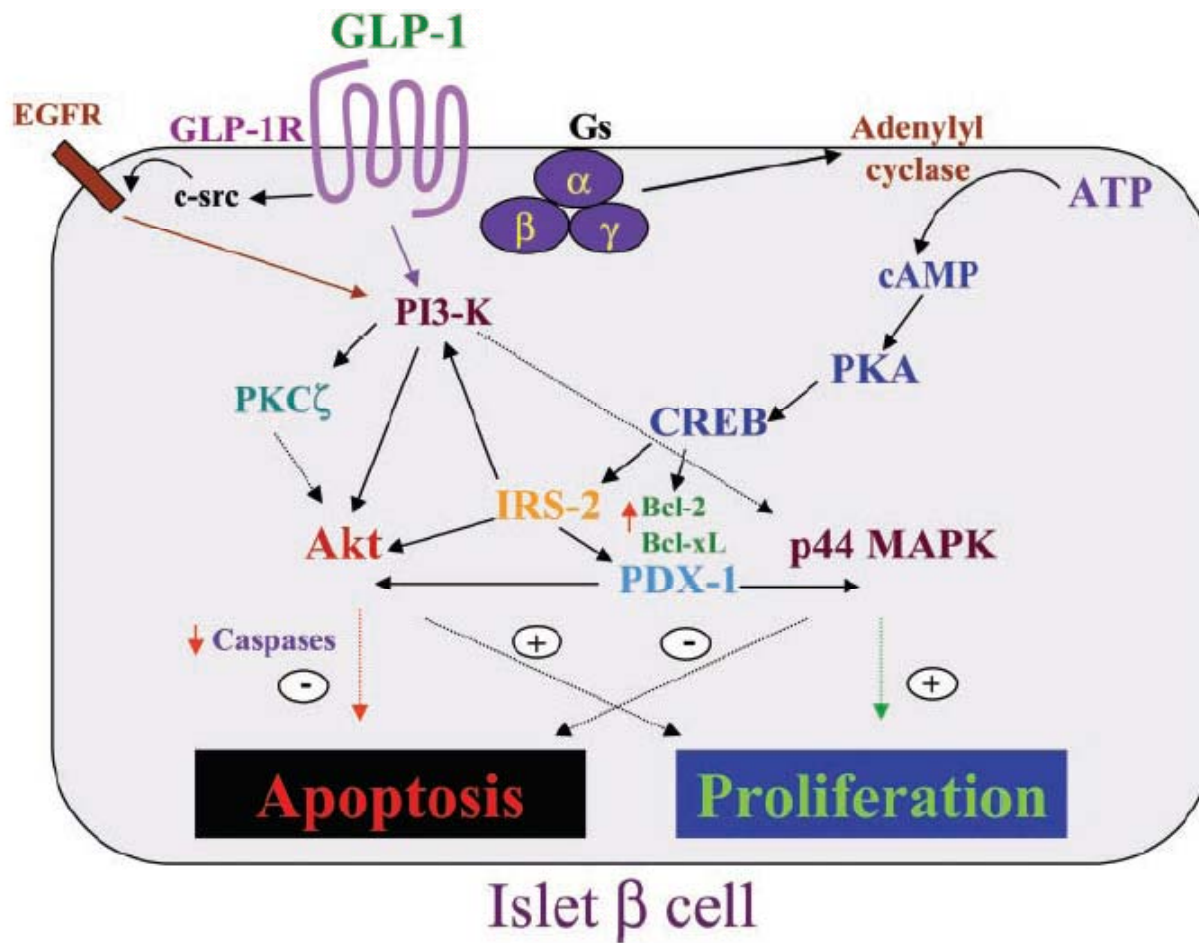
Abraham et al. Endocrinology 2002

GLP-1 preserva la integridad de los islotes y reduce la apoptosis en islotes humanos

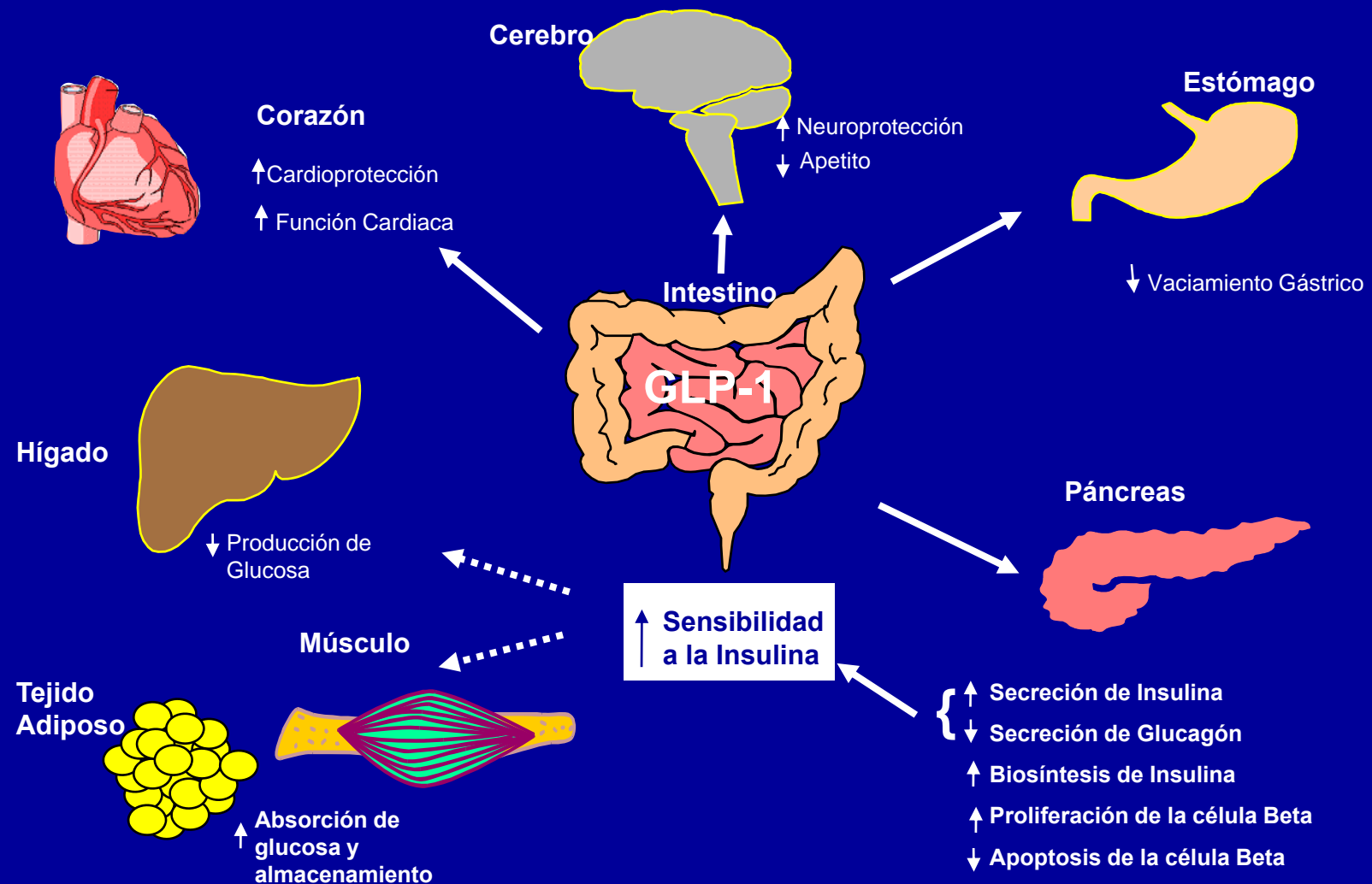


Farilla et al *Endocrinology*. 2003;144:5149.

GLP-1 y proliferación/apoptosis de las células insulares



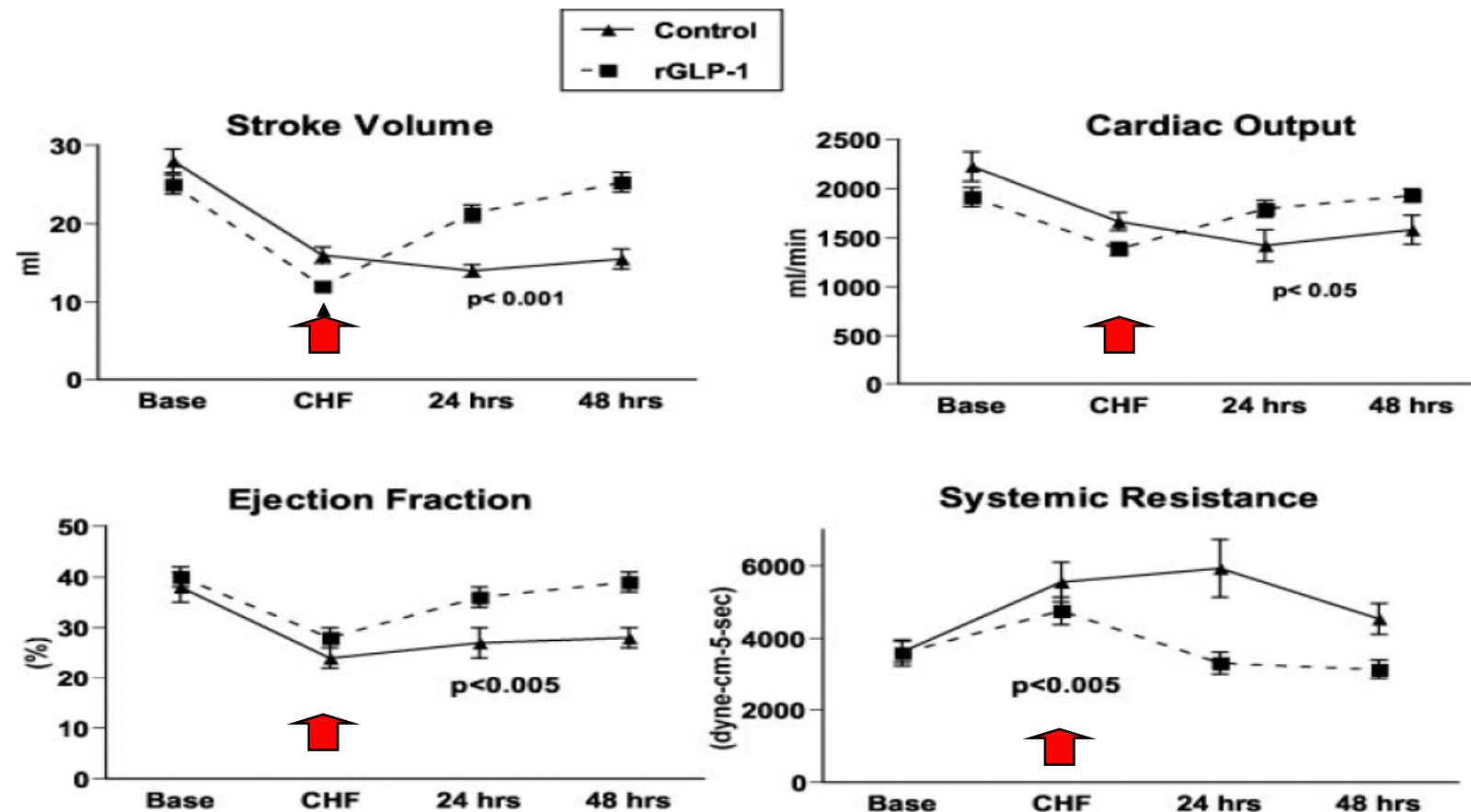
Acciones clásicas y nuevas de la molécula de supervivencia GLP-1



Baggio LL, Drucker DJ. *Gastroenterology*. 2007;132:2131-2157.

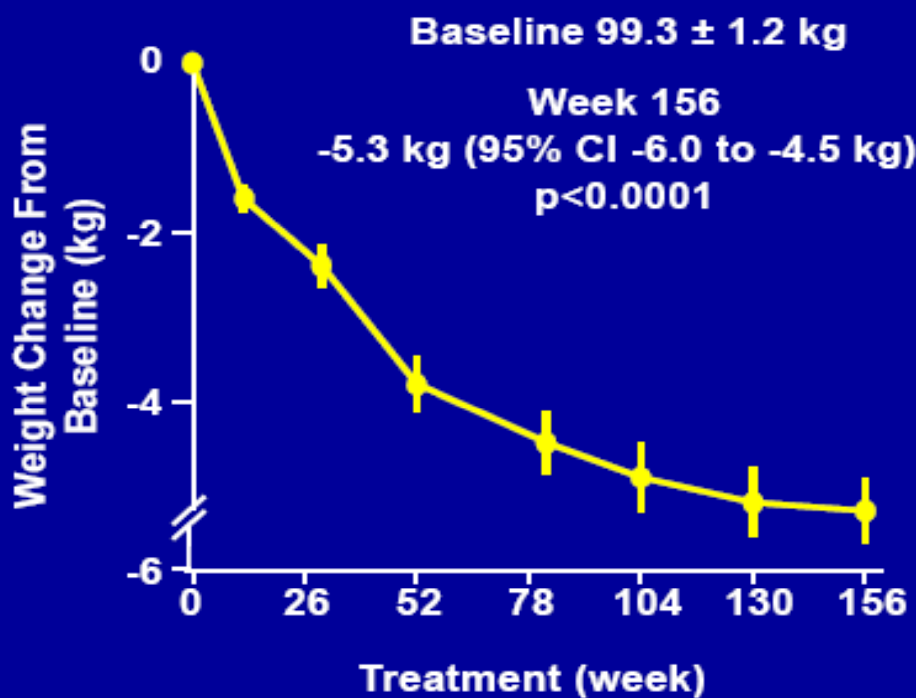
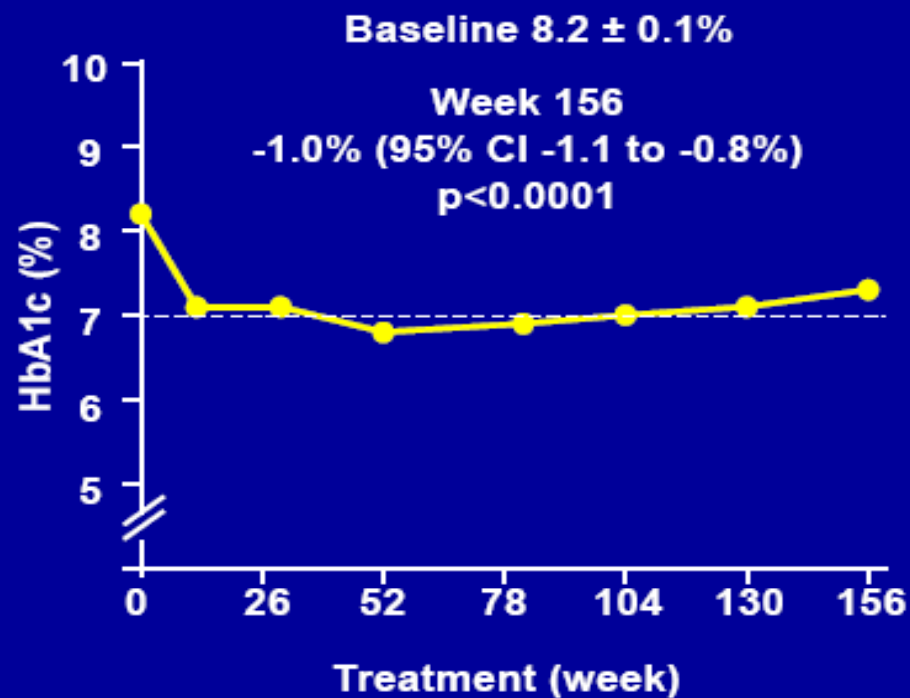
Recombinant Glucagon-Like Peptide-1 Increases Myocardial Glucose Uptake and Improves Left Ventricular Performance in Conscious Dogs With Pacing-Induced Dilated Cardiomyopathy

Lazaros A. Nikolaidis, MD; Dariush Elahi, PhD; Teresa Hentosz, BS;
Aaron Doverspike, MS; Rhonda Huerbin, LVT; Lee Zourelias, LVT; Carol Stolarski, BS;
You-tang Shen, MD; Richard P. Shannon, MD



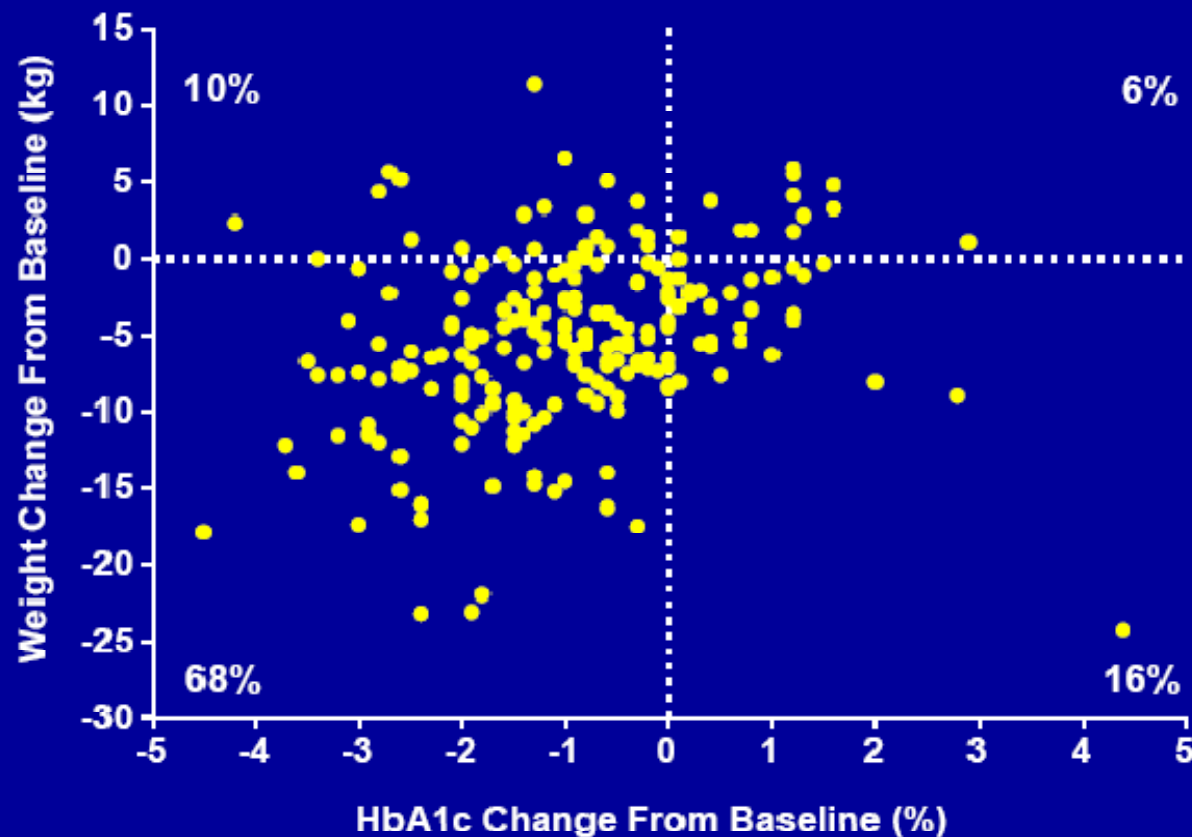
¿Cúales son los determinantes de la respuesta a la terapia basada en incretinas?

Cambios en A1c y en el peso tras exenatida durante 3 años



CI: Confidence interval. N=217; Mean \pm SEM.
Klonoff DC, et al. *Curr Med Res Opin.* 2008;24:275–286.

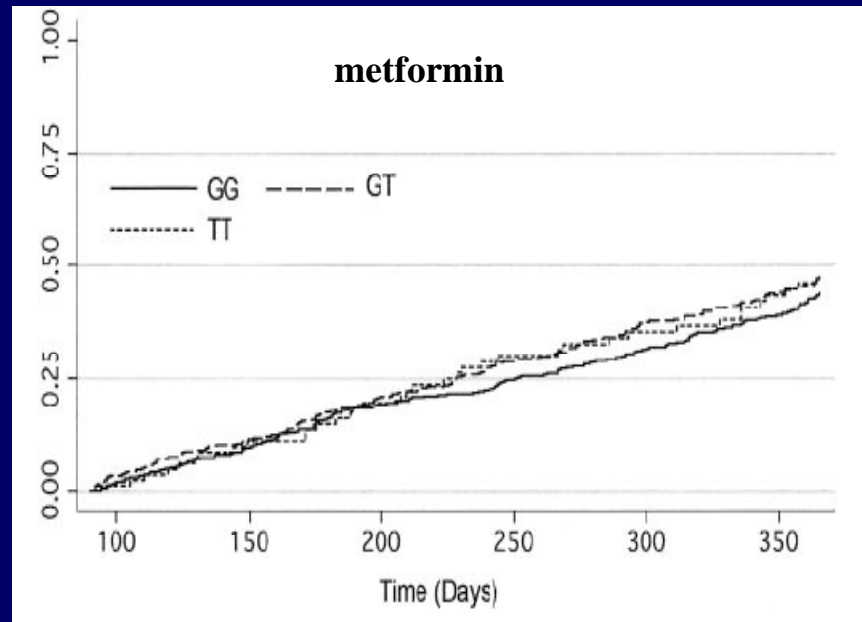
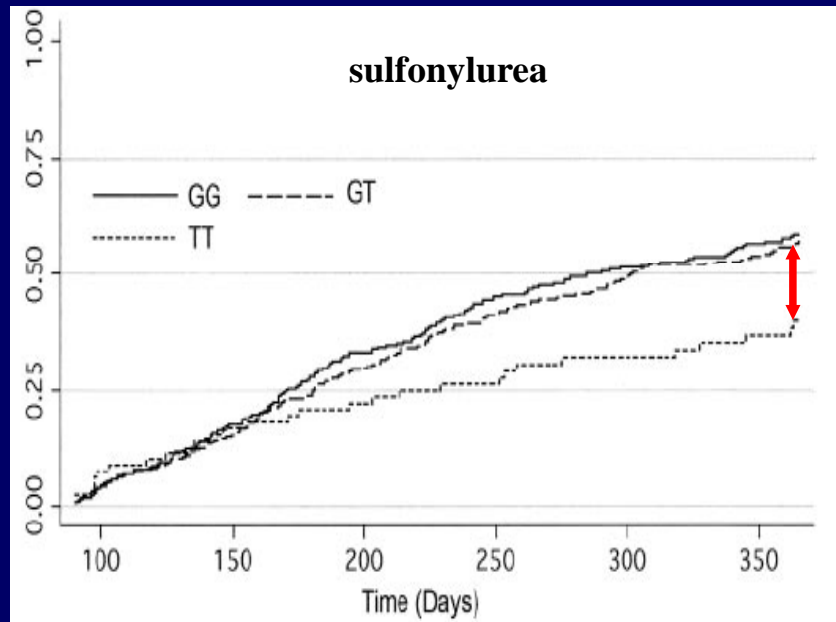
El 68% de los sujetos tratados con exenatida durante 3 años mejoran A1c y pierden peso



N=217

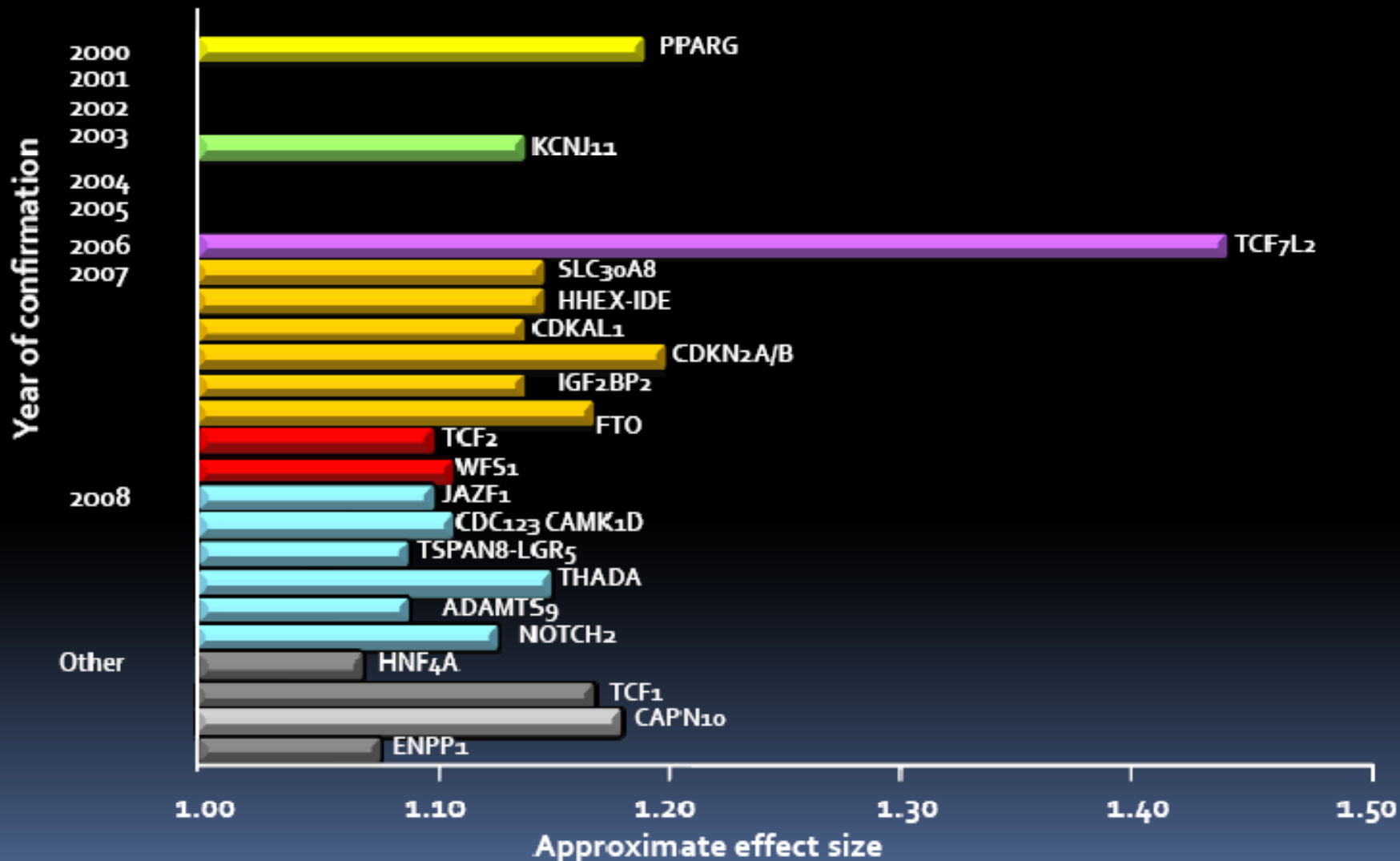
Klonoff DC, et al. *Curr Med Res Opin.* 2008;24:275–286.

TCF7L2 influye en la respuesta a sulfonilureas



Proportion of patients, by genotype rs1225372, who achieve a target A1c <7%

Genes asociados a DM2

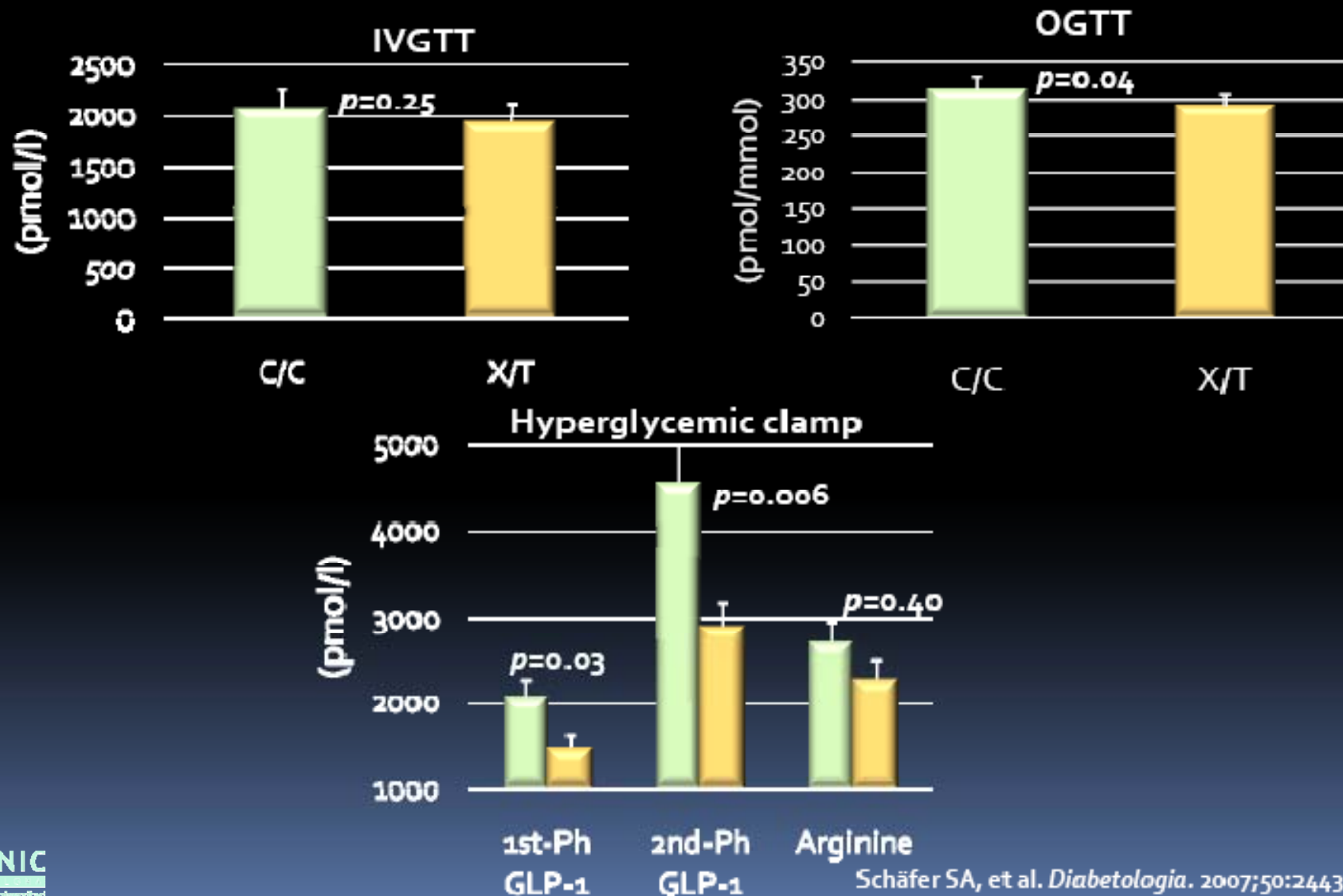


Polimorfismos de *TCF7L2*

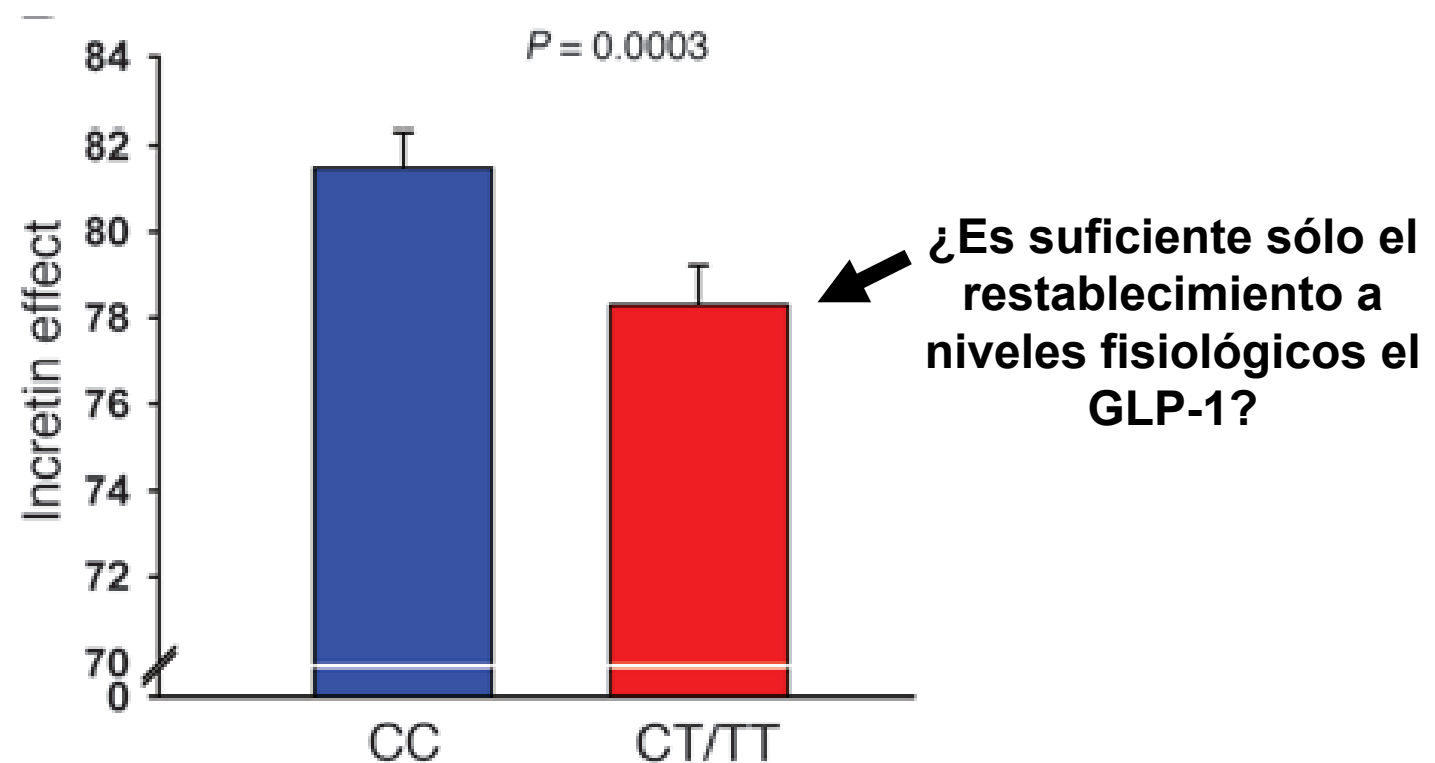
rs7903146

- Confieren un elevado riesgo de DM2
- Se asocian IMC bajo y a fallo precoz al tratamiento con hipoglicemiantes orales
- Determinan una menor respuesta insulino-secretora
- No se asocian a niveles inferiores de GLP-1 pero sí a una menor respuesta insulínica mediada por incretinas, todo ello concordante con una situación biológica de resistencia a las incretinas o de respuesta defectuosa a incretinas

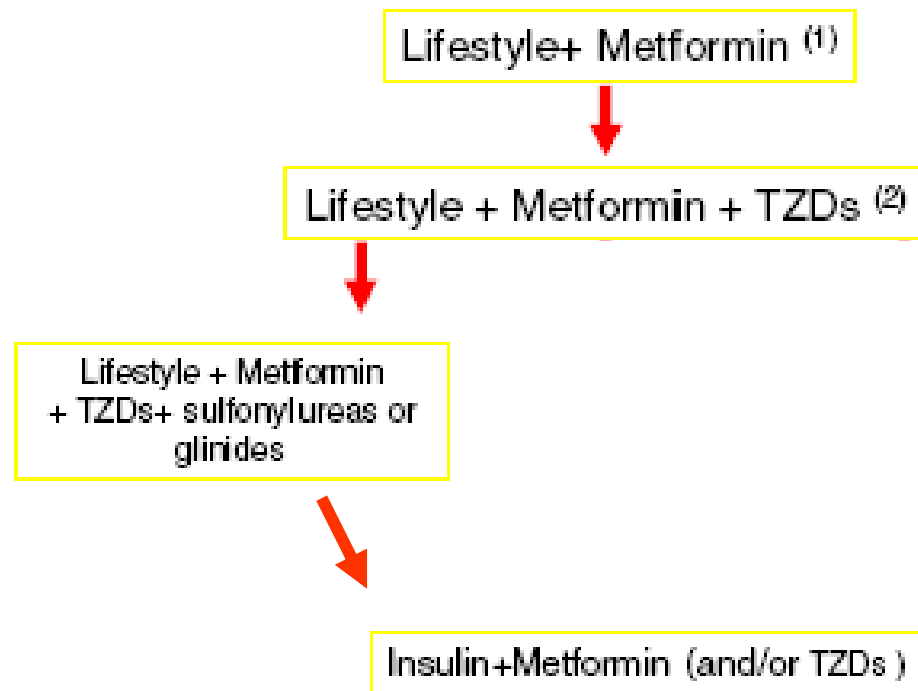
Secreción de insulina mediada por GLP-1 reducida en portadores de alelos de riesgo de TCF7L2



El efecto incretina está reducido en portadores de alelos de riesgo de TCF7L2

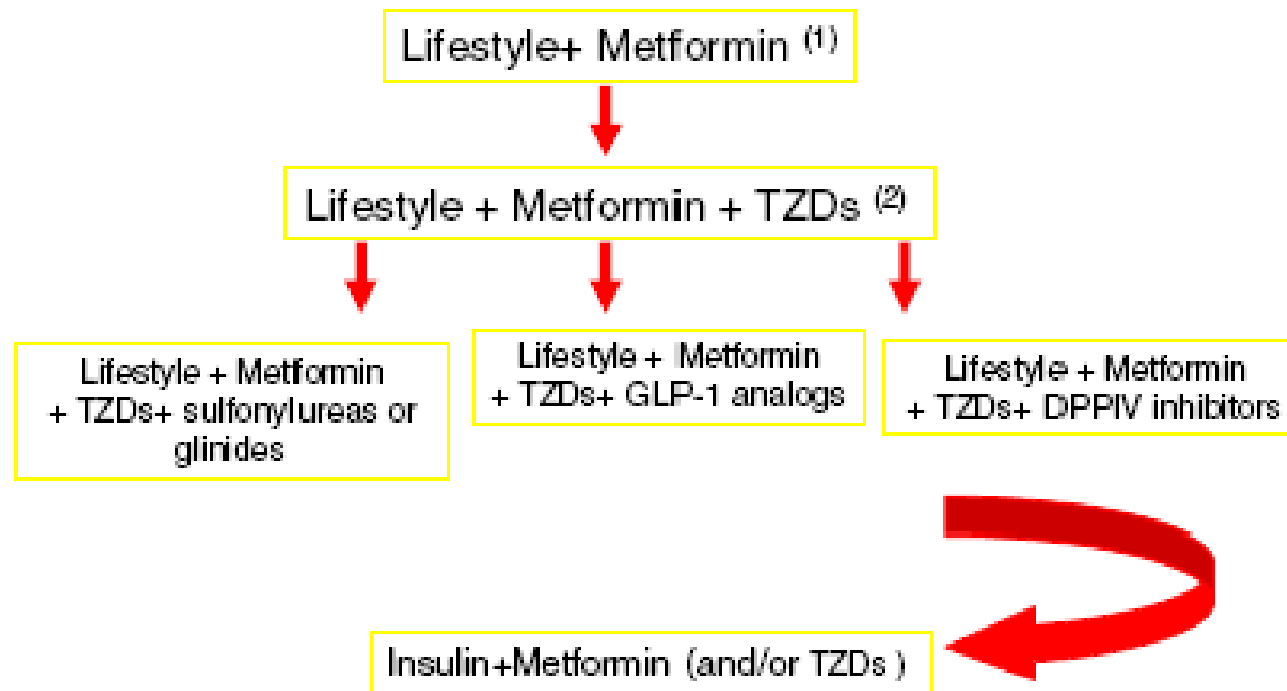


Dónde colocar estos agentes incretínicos en el algoritmo terapéutico de la DM2?



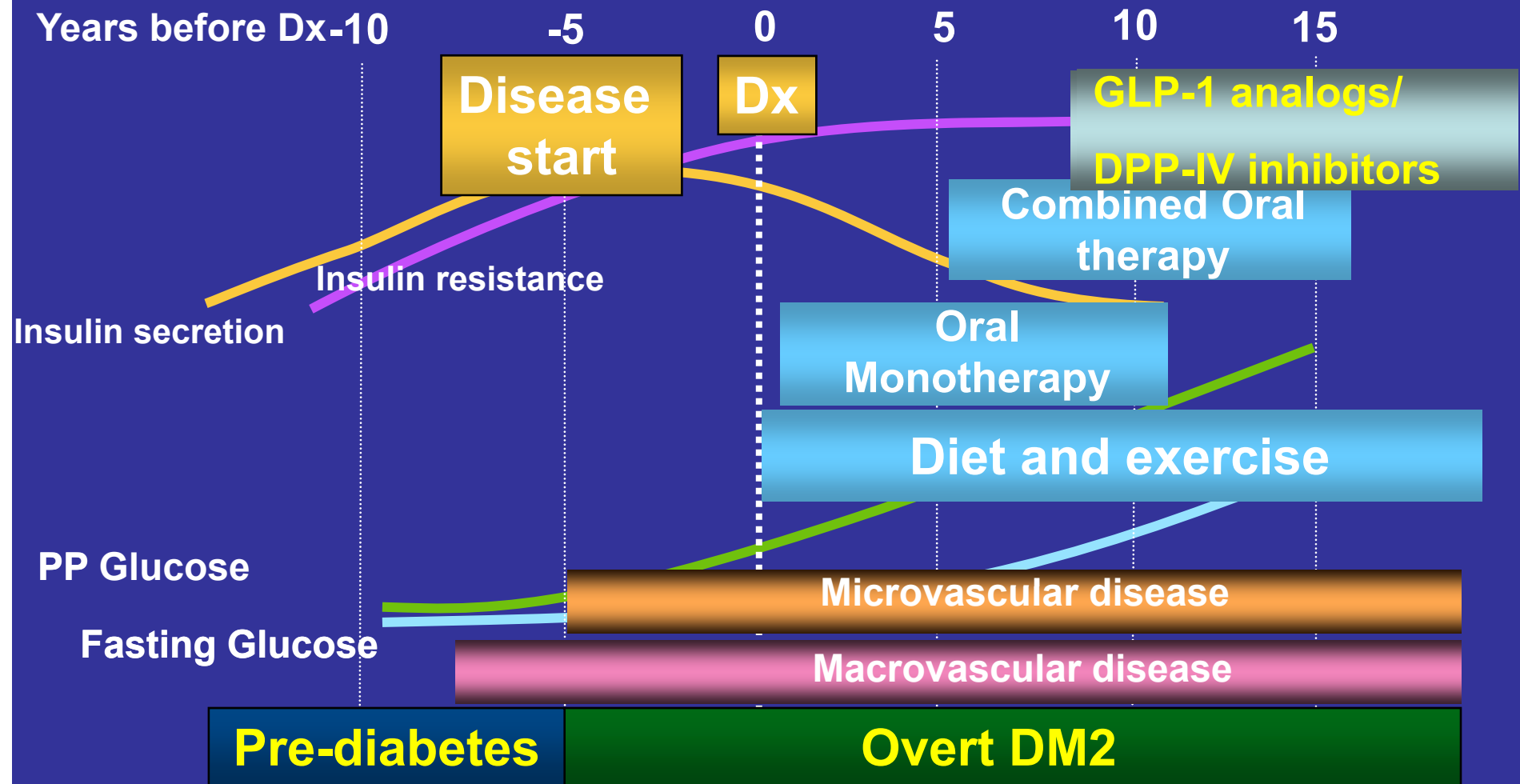
- (1) TZDs if there are side effects or controindication for metformin.
In presence of PPH, + α -glucosidase inhibitors
(2) In presence of PPH, + α -glucosidase inhibitors

Dónde colocar estos agentes incretínicos en el algoritmo terapéutico de la DM2?



- (1) TZDs if there are side effects or controindication for metformin.
In presence of PPH, + α -glucosidase inhibitors
- (2) In presence of PPH, + α -glucosidase inhibitors

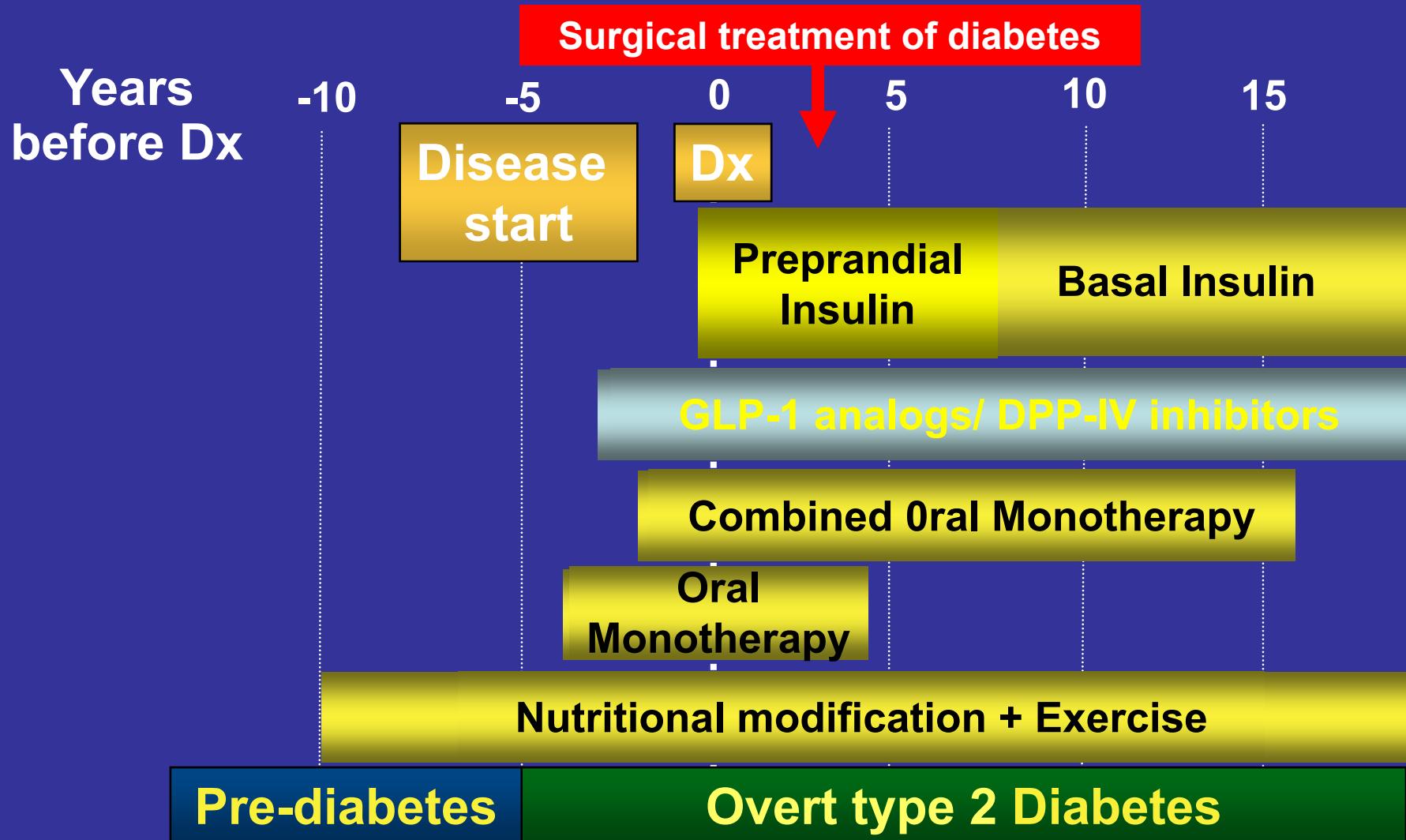
Natural History (*current practice*) of DM 2 treatment



Ramlo-Halsted BA, Edelman SV. *Prim Care*. 1999;26:771-789
Nathan DM. *N Engl J Med*. 2002;347:1342-1349

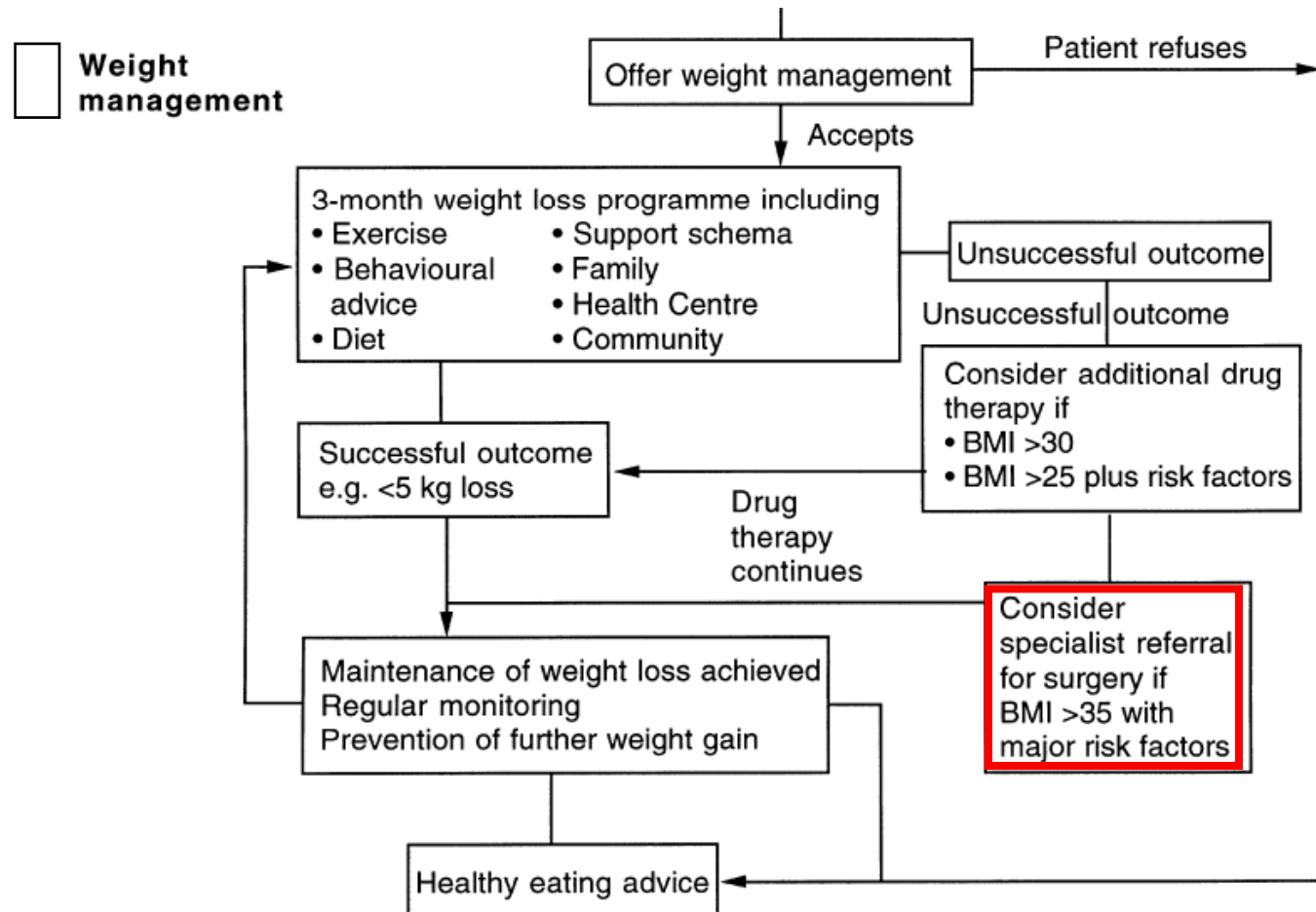
Modern treatment of T2DM

Towards a new paradigm



Management of obesity in patients with Type 2 diabetes

L. Campbell and S. Rössner*



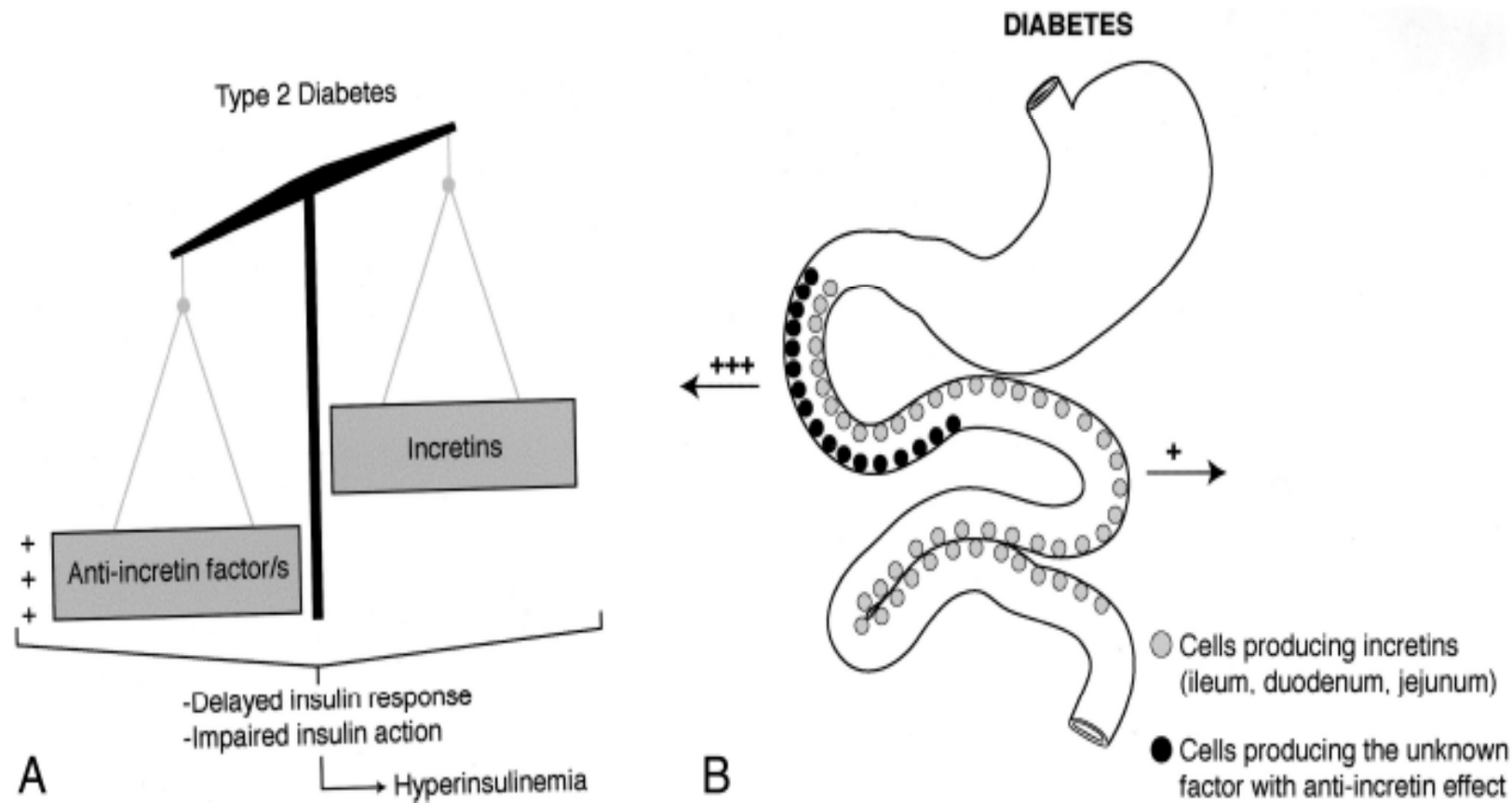
Resultados de la cirugía metabólica

Metabolic outcomes	Years of follow up	Procedure	Post-surgical weight change	Reference
93% resolution of diabetes	3.5 years	Roux-en-Y	38% decrease in weight	DeMaria [17]
93% resolution of diabetes	1 year	Roux-en-Y	34% decrease in weight	Cowan [45]
71% resolution of diabetes	9 years	Roux-en-Y	33% decrease in weight	MacDonald [29]
64% resolution of diabetes	1 year	Lap-Band	20% decrease in weight	Dixon [7]
83% resolution of diabetes	7.6 years	Roux-en-Y	32% decrease in weight	Poires [5]
99% non-progression				
99% non-progressed	5.8 years	Roux-en-Y	52% excess weight loss	Long [6]
58% reduction in incidence of diabetes	3.2 years	Lifestyle intervention	5% decrease in weight	Tuomilehto [26]
58% reduction in incidence of diabetes	2.8 years	Lifestyle intervention	4.2% decrease in weight	DPP [2]

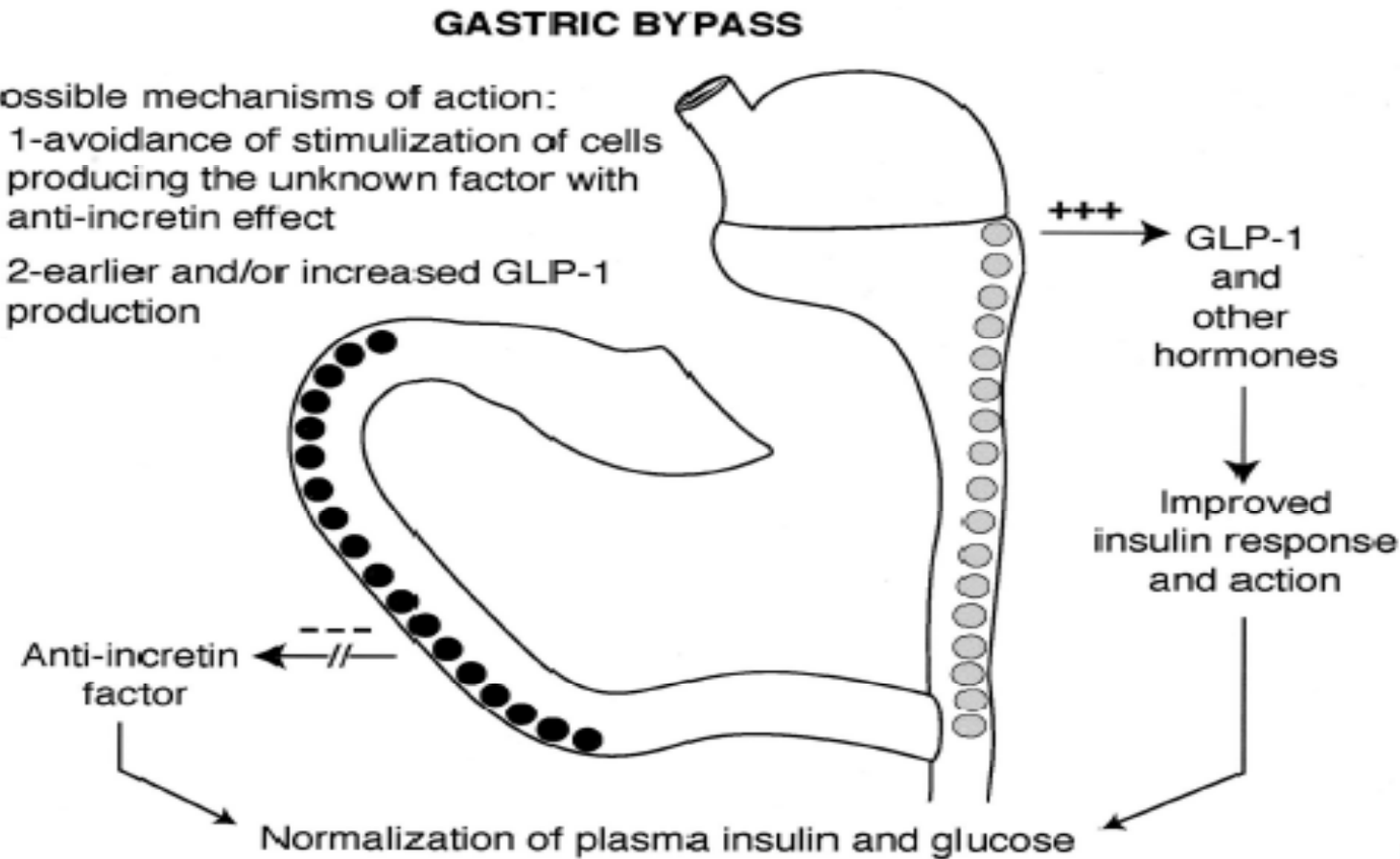
Potential of Surgery for Curing Type 2 Diabetes Mellitus

François Rubino, MD,* and Michel Gagner, MD, FACS, FRCSC†

From the *IRCAD-European Institute of Telesurgery, Strasbourg, France, and the †Division of Laparoscopic Surgery, Mount Sinai Medical Center, New York, New York



Potential effects of gastric by-pass on the pathophysiology of T2 DM



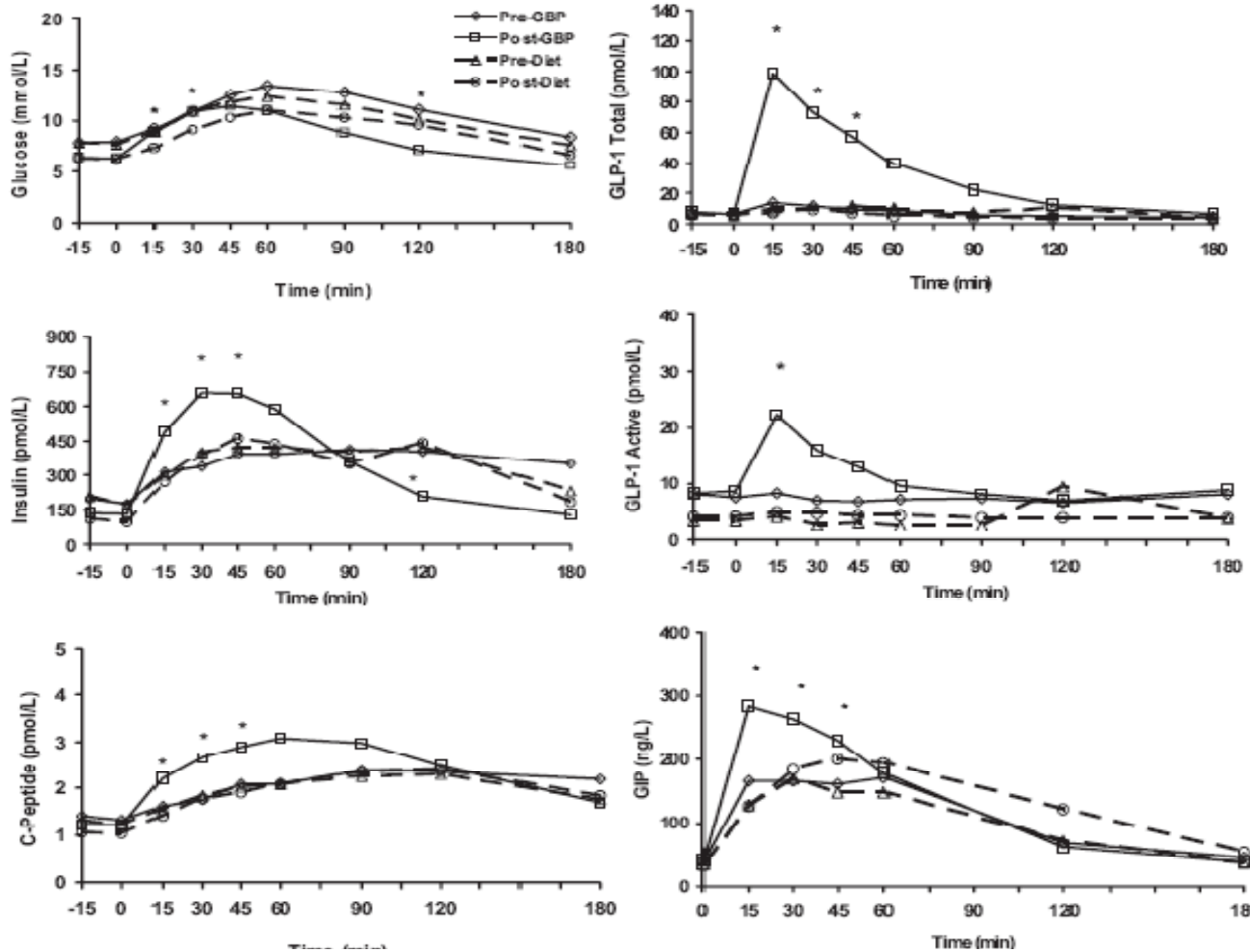
Canvis hormonals després de by pass gastric i el seu efecte sobre la insulina

Hormone	Change After Bypass	Effect on Insulin Secretion
Ghrelin	Decrease	Low-level stimulatory
Gastric inhibitory peptide	Increase	High-level stimulatory
Glucagon like peptide	Increase	High-level stimulatory
Leptin	Decrease	Low-level stimulatory

Effects of bariatric surgery on incretins

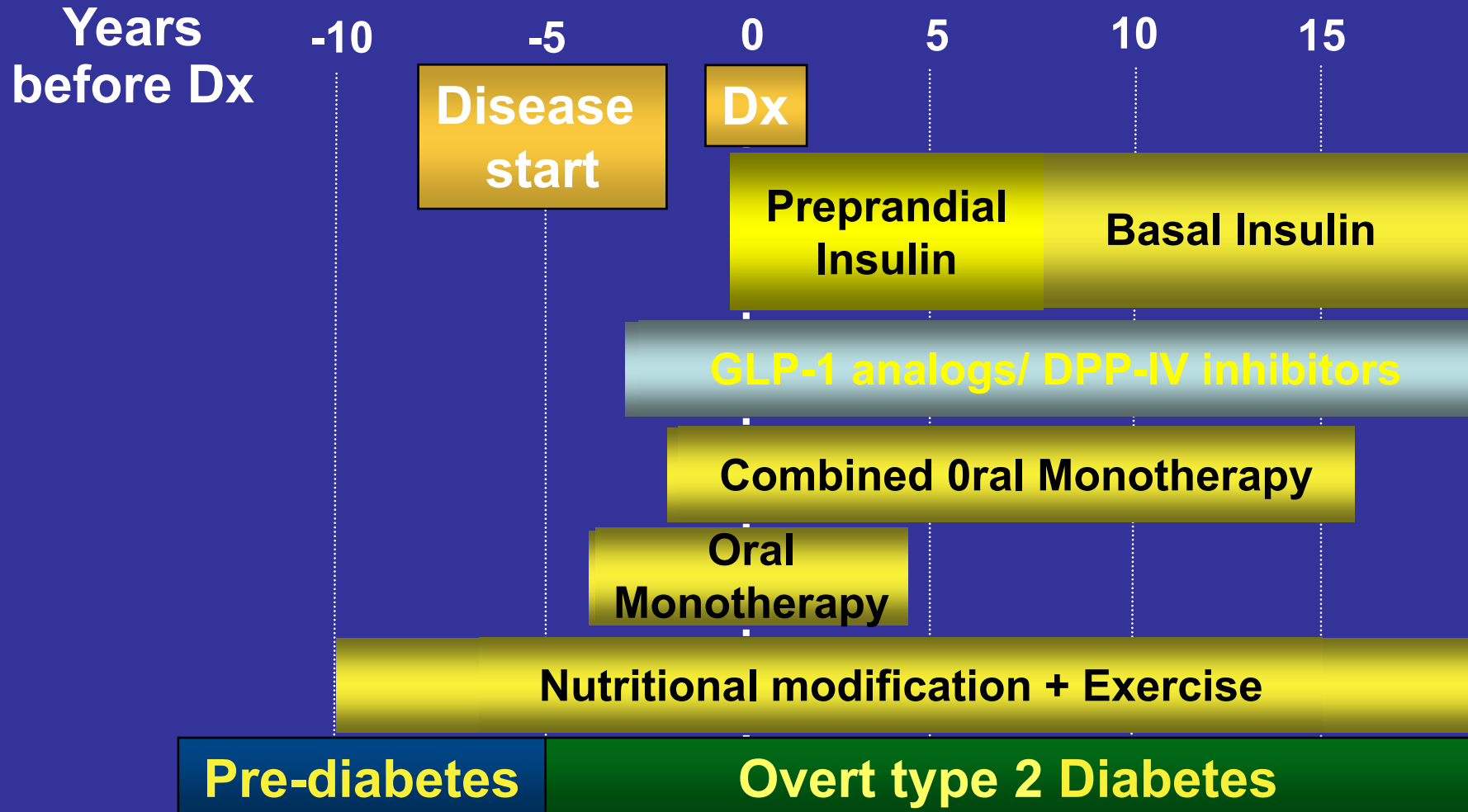
Reference	n	Surgery type	Study type	Control group	GLP-1, EG*	GIP	IE†
Lauritsen 1980	44	JIB 3/1 (12) JIB 1/3 (5)	C-S	• Obese (12) • Nonobese s/p IAS for FHC (5) • Nonobese (10)	Not measured	↓ GIP after oral glucose vs. obese	• JIB 3/1 ↓ IE vs. obese • JIB 1/3 ↑ IE vs. nonobese
Sarson 1981	87	JIB (20) or BPD (38)	C-S	• Lean (13) • Obese (16)	↑ fasting and postprandial EG	↑ fasting GIP vs. lean, ↓ postprandial GIP vs. lean and obese	Not measured
Sininek 1986	12	GBP	L	• Before and 3–4 months after GBP	Not measured	↓ fasting and postglucose GIP	Not measured
Naslund 1998	24	20 years after JIB (6)	C-S	• Lean (6) • Nonoperated obese (6) • Obese 9 months after JIB (6)	↑ fasting and meal-stimulated GLP-1	↑ fasting and meal-stimulated GIP	Not measured
Barry 1977	12	JIB	L	Before, 3 weeks and 6 months after JIB	↑ EG 3 weeks and 6 months after oral glucose	Not measured	Not measured
Moninigo 2003	5	GBP	L	Before and 1.5 months after surgery	↑ GLP-1 after test meal	Not measured	Not measured
Jorde 1981	21	JIB	C-S and L	• Before, 2 and 6 weeks s/p JIB (5) • Lean (8) • 2 years s/p JIB (8)	Not measured	↓ GIP after liquid test meal (with less of a decrease 2 years after surgery vs. preoperative and lean)	Not measured
Kellum 1990	16	GBP (9) or VBG (7)	L	• Before and after surgery	↑ EG after glucose meal	Not measured	Not measured
Clements 2004	20	GBP	L	• Before and 2, 6 and 12 weeks after surgery	No change in fasting levels	↓ fasting GIP at 6 and 12 weeks	Not measured
Rubino 2004	10	GBP	L	• Before and 3 weeks after surgery	No change in fasting levels	↓ fasting GIP only in diabetics	Not measured

Effects of bariatric surgery on incretins



Modern treatment of T2DM

Towards a new paradigm





Gràcies per la vostra atenció